

ESCUELA SUPERIOR POLITECNICA DEL LITORAL Facultad de Ingeniería Marítima y Ciencias del Mar

DISEÑO DETALLADO DE UN CATAMARÁN PARA RECOLECCIÓN DE DESECHOS FLOTANTES

TESIS DE GRADO

Previa a la obtención del Titulo de:

INGENIERO NAVAL

Presentada por:

José A. Delgado Mendoza

Guayaquil - Ecuador

2004

TRIBUNAL DE GRADUACIÓN

Ing. Bolívar Vaca Romo Presidente del Tribunal Ing. Wilmo Jara Calderón Director de Tesis

Ing. Juan Fernando Moreno G. Miembro Principal

Mirreno Mrús

Ing. Patrick Townsend V. Miembro Principal

AGRADECIMIENTO

Al Ing. Wilmo Jara Calderón, por su paciencia y apoyo al dirigir esta tesis.

A la Facultad de Ingeniería Marítima y Ciencias del Mar por todo lo que allí aprendí en Ciencia y Valores.

A mis compañeros de clase, amigos para toda la vida.

DEDICATORIA

A MI DIOS TODOPODEROSO

A MI MADRE SÍMBOLO DE BONDAD Y SACRIFICIO

A MI PADRE QUIEN FUE EJEMPLO DE RESPONSABILIDAD

A MI ESPOSA COMPAÑERA SOLIDARIA Y AMOROSA

A MI IIIJO EL SOL DE MIS DIAS

DECLARACIÓN EXPRESA

"La responsabilidad por los hechos, ideas y doctrinas expuestos en esta tesis, corresponden exclusivamente a su autor, y el patrimonio intelectual de la Tesis de Grado corresponderá a la ESCUELA SUPERIOR POLITÉCNICA DEL LITORAL".

(Reglamento De Graduación, Exámenes y Títulos Profesionales de la ESPOL).

José A. Delgado Mendoza

RESUMEN

Los cuerpos de agua en el Ecuador tienden a convertirse por la falta de conciencia ambiental y cívica en vertederos de basuras. El estero Salado en la ciudad de Guayaquil es un ejemplo de este problema.

Las autoridades locales están en el camino de encontrar una solución a este problema y justamente a través de esta tesis se busca contribuir a este esfuerzo.

En base a datos y estudios recientemente realizados ha sido posible escribir esta propuesta que busca entregar a la ciudad una embarcación capaz de recoger los desechos sólidos flotantes mediante un mecanismo de banda transportadora. Los desechos se almacenan en una canasta recolectora la misma que es vaciada en muelle.

La embarcación sugerida es posible construirla localmente. Esta tesis se presenta como una guía para hacerlo.

RESUMEN

Los cuerpos de agua en el Ecuador tienden a convertirse por la falta de conciencia ambiental y cívica en vertederos de basuras. El estero Salado en la ciudad de Guayaquil es un ejemplo de este problema.

Las autoridades locales están en el camino de encontrar una solución a este problema y justamente a través de esta tesis se busca contribuir a este esfuerzo.

En base a datos y estudios recientemente realizados ha sido posible escribir esta propuesta que busca entregar a la ciudad una embarcación capaz de recoger los desechos sólidos flotantes mediante un mecanismo de banda transportadora. Los desechos se almacenan en una canasta recolectora la misma que es vaciada en muelle.

La embarcación sugerida es posible construirla localmente. Esta tesis se presenta como una guía para hacerlo.

INDICE GENERAL

RESUMEN	VI
INDICE GENERAL	VII
INDICE DE FIGURAS	XI
INDICE DE TABLAS	XIV
ABREVIATURA Y SIMBOLOS	XVI
INTRODUCCION	XIX
CAPITULO 1	· 21
SITUACION DEL ESTERO SALADO	- 21
1.1 DESCRIPCION DEL ESTERO SALADO	- 21
1.2. ANTECEDENTES HISTORICOS	- 22
1.3. REFERENCIA CRONOLÓGICA DE LOS PRINCIPALES HECHOS EN	V
LA HISTORIA DEL ESTERO SALADO	23
1.4. PROBLEMAS DE CONTAMINACIÓN EN EL ESTERO SALADO	25
1.5. ESTADO ACTUAL DE LA CONTAMINACION POR DESECHOS	
FLOTANTES EN EL ESTERO SALADO	27
1.6. PLANES DE DESCONTAMINACION DEL ESTERO SALADO	30
1.6.1 PROYECTO PIRES	30
ZONIFICACION DEL ESTERO SALADO	32
1.7.1. ZONA I	33
1.7.2. ZONAL II	35
1.7.3. ZONA III	37
1.8. CARACTERIZACION DE LOS DESECHOS FLOTANTES	39

1.9. CONDICIONES HIDROLOGICAS Y DE NAVEGABILIDAD DEL EST	TERO
SALADO	40
CAPITULO DOS SELECCION DEL SISTEMA DE RECOLECCION DE DESECHOS SÓLI	Dos
2.1 NECESIDADES	1,41
2.2 PROCEDIMIENTO DE SELECCIÓN	45
2.3 DESCRIPCIÓN DE LOS SISTEMAS	46
2.3.1 RECOLECCIÓN POR CINTA TRANSPORTADORA	46
2.3.2. PALA Y SISTEMA HIDRÁULICO DE ELEVACIÓN	47
2.3.3 MIXTA: EXTENSIÓN DE LA PROA QUE SE ABRE MÁS PARRILLA	1
HIDRÁULICA Y CANASTA RECOLECTORA	48
2.4 MATRIZ DE DECISIÓN	49
ELECCION DE EQUIPOS PRINCIPALES Y ACCESORIOS	51
2.5.1 DISEÑO DE LA CANASTILLA DE RECOLECCION	51
2.6 DISEÑO DE LA BANDA TRANSPORTADORA	52
2.6.1 PRUEBA DE LA BANDA DE RECOLECCION	55
CAPITULO 3	57
DISEÑO PRELIMINAR DE LA EMBARCACIÓN	57
3.1 REQUERIMIENTOS DE DISEÑO	57
3.2 CONDICIONES METEOROLÓGICAS	58
3.3. RECORRIDOS DE LIMPIEZA	59
3.4. RESTRICCIONES DE DISEÑO	60

3.5 DIMENSIONES PRINCIPALES	60
3.5.1 Desplazamiento Vs. Eslora	65
3.5.2 Manga Vs. Eslora	66
3.5.3 Semimanga / Calado vs. la eslora	67
3.5.4. Coeficiente Bloque	68
3.6 DISTRIBUCION GENERAL	70
3.7. ESTIMACION DE PESOS	71
3.8 CALCULO DEL NUMERO CUBICO (CUNO)	7 <i>1</i>
3.9 SISTEMA PROPULSOR	76
3.10 CALCULO DE LA RESISTENCIA	77
DISEÑO PRELIMINAR DE LA EMBARCACION4.1 DISEÑO ESTRUCTURAL DEL RECOLECTOR	
4.1 DISEÑO ESTRUCTURAL DEL RECOLECTOR	79
4. 2. CÁLCULOS DE SECCIÓN MEDIA	81
4.3 ESTRUCTURA TRANSVERSAL DE CONECCION	83
4.4 PLANOS DE LINEAS FORMAS, ESTRUCTURALES Y ARREGL	0
GENERAL	8 <i>4</i>
4.6. FLOTABILIDAD	90
4.7 COSTO DE MATERIALES	92
CONCLUSIONES	96
RECOMENDACIONES	
BIBLIOGRAFÍA	
ANEXO A	
ANEXO B	105

ANEXO C	-107
ANEXO D	-108
ANEXO E	-110
ANEXO F	-111
ANEXO G	-114
ANEXO H	-117
ANEXO	_119

.

INDICE DE FIGURAS

FIGURA 1. VISTA SATELITAL DE GUAYAQUIL, PUEDE APRECIARSE SU
SISTEMA 2
FIGURA 2: VISITANTES DISFRUTANDO DE LOS BAÑOS DE MAR DEL
AMERICAN PARK 24
FIGURA 3: BAÑOS DE MAR DEL AMERICAN PARK. FOTO CORTESÍA DEL
ARCHIVO HISTÓRICO DEL 25
FIGURA 4: POBLADOR DE LAS RIBERAS DELESTERO SALADO 28
FIGURA 5 : ESTERO SALADO, ZONA I, IMAGEN 34
FIGURA 6 : ESTERO SALADO, ZONA I I, MOSAICO DE IMÁGENES 36
FIGURA 7. ESTERO SALADO, ZONA III, IMAGEN LANDSAT
MULTIESPECTRAL.1986 38
FIGURA 8 . TIPO DE BASURA EN EL ESTERO SALADO. FUENTE:
ESTUDIO DE LAHMEYER CIMENTACIONES 39
FIGURA 10. RECOLECTOR POR CINTA TRANSPORTADORA 46
FIGURA 11 RECOLECTOR POR SISTEMA HIDRÁULICO DE ELEVACIÓN 47
FIGURA 12. RECOLECTOR DE PROA ABIERTA 48
FIGURA 13 SISTEMA DE BANDA RECOLECTORA INSTALADO EN UN
MODELO, LABORATORIO DE HIDRODINÁMICA FIMCM 56
FIGURA 14 - BANDA Y MOTOR DE ACCIONAMIENTO 56

FIGURA 15. VARIACIÓN DE LAS ÁREAS DE CUBIERTA VS. LA ESLORA
62
FIGURA 16. DESPLAZAMIENTO VS. ESLORA 65
FIGURA 17 - VARIACIÓN DE LA MANGA Y SEMIMANGAS VS. LA
ESLORA 66
FIGURA 18 VARIACIÓN DE LA RELACIÓN SEMIMANGA / CALADO VS.
LA ESLORA 67
FIGURA 19 VARIACIÓN DEL COEFICIENTE BLOQUE VS. LA ESLORA - 68
FIGURA 20. CUADRO DE DISTRIBUCIÓN PRELIMINAR 69
FIGURA 21 DISTRIBUCIÓN GENERAL 70
FIGURA 22: FIGURA PARA ESTIMACIÓN DE PESO Y COSTOS EN
PEQUEÑAS EMBARCACIONES DE PESCA 71
FIGURA 23 DIAGRAMA DE DISTRIBUCIÓN DE PESOS 74
FIGURA 24. LOCALIZACIÓN DEL CENTRO DE GRAVEDAD - LIGERO 74
FIGURA 25 LOCALIZACIÓN DEL CENTRO DE GRAVEDAD - CARGADA 75
FIGURA 26. ESQUEMA DE LA SECCIÓN MEDIA 80
FIGURA 27 PLANO DE LÍNEAS DE FORMA 85
FIGURA 28 ARREGLO GENERAL 86
FIGURA 29 PLANO DE ESTRUCTURALES 87
FIGURA 30 87
FIGURA 31. SISTEMA DE LA BANDA RECOLECTORA, SOPORTE, CAMA
Y ACOPLES CON LOS CASCOS 88

FIGURA 32 MONTAJE DEL SISTEMA DE RECOLECCIÓN CON LOS	
CASCOS	89
FIGURA 33.RECOLECCIÓN DESDE LA GABARRA VICTORIA	- 105
FIGURA 34. INFORMACIÓN DEL DIARIO EL UNIVERSO. OCTUBRE	
17,1999	- 107
FIGURA 35. CERTIFICACIÓN DE VALIDEZ DE LA PROPUESTA TÉCNI	CO
CIENTÍFICA	- 107
FIGURA 38 ARREGLO DE LA CANASTILLA	-110
FIGURA 39 SISTEMA ELECTROMECÁNICO QUE ACCIONA LA BANDA	L
TRANSPORTADORA DEL MODELO	- 121
FIGURA 40: MODELO EN EL TANQUE DE PRUEBAS	- 121

INDICE DE TABLAS

TABLA I. RESEÑA HISTÓRICA DEL ESTERO SALADO	- 24
TABLA II: TIPO DE DESECHOS EN LA BASURA	- 27
TABLA III: CARACTERÍSTICAS DE LOS DESECHOS FLOTANTES	- 28
TABLA IV. TRAMOS COMPRENDIDOS EN LA ZONA I	- 33
TABLA V. TRAMOS COMPRENDIDOS EN LA ZONA II	- 35
TABLA VI. TRAMOS DEL E. SALADO COMPRENDIDOS EN LA ZONA III -	- 37
TABLA VII. BATIMETRÍA DEL ESTERO SALADO	- 41
TABLA VIII. MATRIZ DE DECISIÓN	- 50
TABLA IX. PARTES DE LA CANASTILLA	- 52
TABLA X PARÁMETROS DE LA BANDA TRANSPORTADORA	- 55
TABLA XI. CONDICIONES METEREOLOGICAS DE GUAYAQUIL. FUENTI	E:
INOCAR,2003	- 58
TABLA XII. RECORRIDOS DEL RECOLECTOR	- 59
TABLA XIII .CARACTERÍSTICAS DE EMBARCACIONES SIMILARES	- 61
TABLA XIV REQUERIMIENTOS DE ÁREA DE CUBIERTA	- 62
TABLA XV DIMENSIONES PARA ANÁLISIS REGRESIONAL	- 64
TABLA XVI DIMENSIONES PRELIMINARES	- 69
TABLA XVII. PESO ESTIMADOS PARA LA CONDICIÓN LIGERA	
	- 73
TABLA XVIII PESO ESTIMADOS PARA LA CONDICIÓN CARGADA	

TABLA XX CALCULO DEL MODULO SECCIONAL DE LA EMBARCACIÓN
Y ESFUERZOS MÁXIMOS 82
TABLA XXI CALCULO DE LA ESTRUCTURA TRANSVERSAL DE
CONEXIÓN ENTRE LOS CASCOS 82
TABLA XXII. CALCULO DEL PESO DE LAS UNIONES TRANSVERSALES- 83
TABLA XXIII PROGRAMA PROLINES CALCULO DEL CATAMARÁN EN
CARGA LIGERA 91
TABLA XXIV PROGRAMA PROLINES CALCULO DEL CATAMARÁN EN 92
TABLA XXV TABLA DE COSTOS APROXIMADOS DE EQUIPOS 94
TABLA XXVI LISTADO DE MATERIALES 95
TABLA XXVII PROMEDIOS ANUALES DE PESO DE LOS DESECHOS
RECOGIDOS EN106
TABLA XXVIII CARACTERÍSTICAS DE LA EMBARCACIÓN 108
TABLA XXIX EFICIENCIA DEL SISTEMA DE RECOLECCIÓN 100

ABREVIATURA Y SIMBOLOS

ρ Densidad

∇ Volumen de carena

Δ Desplazamiento en toneladas

σ Esfuerzo

α Angulo de la banda con la horizontal

σ_{cr} Esfuerzo crítico

A_M Area de sección media

AW Area del plano de agua

b Manga del semi casco

B Manga

BHP Potencia al freno

BML Distancia entre el metacentro y centro de boyantez

longitudinal

BMT Distancia entre el metacentro y centro de boyantez

transversal

C_B Coeficiente de bloque

CG Centro de gravedad

C_n Coeficiente prismático

C_w Coeficiente de plano de agua

C_x Coeficiente de sección media

D Puntal

DESP Desplazamiento

FIMCM Facultad de Ingeniería Marítima y Ciencias del Mar

Fn Número de Froude

ft Pies (feet)

g Aceleración de la gravedad

GM Altura metacéntrica

H Calado

Inercia respecto el centro de gravedad propio

in Pulgadas (inches)

INOCAR Instituto Oceanográfico de la Armada

I_T Inercia total

KB Posición vertical del centro de boyantez

KG Posición vertical del centro de gravedad

KML Altura del metacentro longitudinal

KMT Altura del metacentro transversal

kn Nudos (knots)

kW Kilovatios

L Eslora

L/B Relación Eslora - Manga

LAD Línea de agua de diseño

lb Libras

LCB Posición del centro de boyantes longitudinal

LCB Posición longitudinal del centro de boyantez

LCF Posición longitudinal del centro de flotación

LCG Posición del centro de gravedad longitudinal

L_{pp} Eslora entre perpendiculares

m Metros

m/s Metros sobre segundo

mm Milímetros

MS Módulo seccional (SM)

P Peso

s Espaciamiento entre longitudinales

SHP Potencia al eje

SM Superficie mojada

SS Sólidos en suspensión

T Calado

t Espesor del estructural

Ton Toneladas

USD Dólar norteamericano

V Velocidad

VCB Posición vertical del centro de boyantez

VOL Volumen

Z Módulo seccional

Z_x Posición del centro de gravedad vertical

INTRODUCCION

La recolección de los desechos flotantes es una necesidad inmediata para el Estero Salado, pero también para otros cuerpos de agua que sufren este problema a diferente escala. En el caso de Guayaquil, la casi inexistente recolección de basura en las zonas adyacentes al Estero Salado ha obligado a los pobladores a disponer de manera arbitraria de sus desechos arrojándolos a dicho cuerpo de agua. La basura flotante tiende a amontonarse provocando la obstrucción del flujo de agua, anulando la posibilidad de regeneración natural, afectando su navegabilidad pero sobre todo haciendo de este brazo de mar una zona altamente contaminada con las conocidas consecuencias para el medioambiente y la salud humana

Debido a esto, la necesidad de una embarcación ligera cuyo peso y tamaño permita su acceso a estas zonas hace evidente que la misma cuente con un sistema de recolección que sea práctico, ligero y sencillo pero consistente y productivo.

Si la intención del proyecto es la de limpiar un cuerpo de agua que esta sumido en la contaminación, habría que pensar entonces en que la operación de la embarcación no genere más contaminación. Aunque se sugiere el uso de la propulsión convencional por razón de disponibilidad en el mercado nacional, esta tesis recomienda también la posibilidad de utilizar un sistema de propulsión sobre la base de una energía

renovable y limpia, que no genere contaminantes y que en caso de accidente la posibilidad de contaminar el cuerpo de agua se reduzca a cero. La aplicación de esta propulsión limpia y de otras consideraciones tecnológicas alternativas del diseño general estará sujeta al interés del potencial armador.

Conciliar estas necesidades es la tarea que nos resta desarrollar.

CAPITUL0 1

SITUACION DEL ESTERO SALADO

1.1 DESCRIPCION DEL ESTERO SALADO



Figura 1. Vista satelital de Guayaquil, puede apreciarse su sistema hidrográfico compuesto por los ríos Daule, Babahoyo, Guayas y por el Estero Salado1

Situado al Occidente del rió Guayas y al Oeste del Golfo de Guayaquil el Estero Salado forma parte de un sistema estuarino muy grande que se extiende desde la Isla Puna al sur, hasta la ciudad de Guayaquil al norte cubriendo una distancia mayor de

¹ Imagen adquirida el 08-08-2003 a las 15h:30, Lat/long −2.16522° / -79.8844° copyright ©Digital Globe

90 Km. Esta caracterizado por muchos canales pequeños y manglares. Es ancho en su tramo cercano al mar pero conforme penetra en tierra se torna estrecho.

El Estero Salado es un cuerpo de agua que, al igual que el río Guayas, es uno de los referentes geográficos que identifican Guayaquil desde su fundación. Sus diversas ramificaciones abrazan la ciudad en un recorrido de 30 Km. que incluye el Puerto Marítimo de Guayaquil, el más importante del país. Los sectores Noroeste, Sur, Oeste, y Suroeste de la ciudad, se han desarrollado a partir de sus riberas, por lo que esta íntimamente relacionado con la población.

1.2. ANTECEDENTES HISTORICOS

Según el historiador Julio Estrada Icaza [1] la primera descripción fidedigna del Estero data de mediados del siglo XVIII cuando Don Jorge Juan y Don Antonio de Ulloa, acuciosos investigadores españoles que mucho hicieron por el estudio de la región escribieron:

Don Jorge Juan paso a reconocer el Estero Salado cuyo brazo es tan considerable que en las cuatro leguas que navegó por el desde la ciudad hasta su boca, encontró siempre 14 brazas de agua, y en algunos parajes mas todavía.

En 1770 el ingeniero Manuel Requena realiza un levantamiento hidrográfico en la cual traza una ruta en el Estero Salado que llega hasta el estero de Palobamba (algo

mas al norte que el Estero de Chongon) donde se registran 8 brazas². En el trayecto la profundidad mínima son 6 brazas.

En 1783 la utilidad principal del Estero Salado radicaba en servir "para evacuar las inmundicias" de la ciudad³. Sea cual fuere el periodo en que se inicio su utilización como vía navegable y ese silencio casi absoluto, sobre todo de los piratas que tan detallistas fueron en sus descripciones de puertos y ríos navegables, prueba sin duda su escaso aprovechamiento.

1.3. REFERENCIA CRONOLÓGICA DE LOS PRINCIPALES HECHOS EN LA HISTORIA DEL ESTERO SALADO.

ANO	RESEÑA
1,740	Juan y Ulloa deja constancia de la existencia del Estero Salado.
1,841	Vicente Rocafuerte abre una trocha –un corte en el manglar – que fue motivo de celebración en la Aurora del 9 de Octubre.
1.862	Se construyen los "Baños del Salado".
1.872	Se construye un Puente sobre el Salado.
1.878	Decreto Municipal que asignaba un impuesto sobre la exportación para la "limpieza de canales y canalización de esteros".
1.883	El Grai. ignacio de Veintimilla destruyó el puente y los Baños (fue durante las luchas de Alfaro contra el dictador Veintimilla).
1.884	Leandro Serrano y Baltasar Arauz reconstruyen et Puente del Salado con balcones.
1.892	Geografía de Teodoro Wolf, primera descripción de la dualidad manglar-salitral.

² Una braza equivale a 1.617m

³ Cabildo del 5.XI.1783, ACR, XXI,464

1.922	Inauguración del American Park.
1.928	Inauguración de la Plaza de Toros en los terrenos del American Park.
1.929	Rodolfo Baquerizo Moreno pide reforma al contrato de ocupación del terreno del American Park.
1.938	Exposición de Verano del American Park, iniciativas ecuatorianas en la Industria, Comercio y Agricultura.
1.940	Desarrollo del Barrio Orellana.
1.950	Ubicación de la Universidad Estatal de Guayaquil y del Guayaquil Tennis Club.
1.966	El Alcalde Assad Bucaram sustituye al American Park por el "Parque Guayaquil".

Tabla I. Reseña histórica del Estero Salado

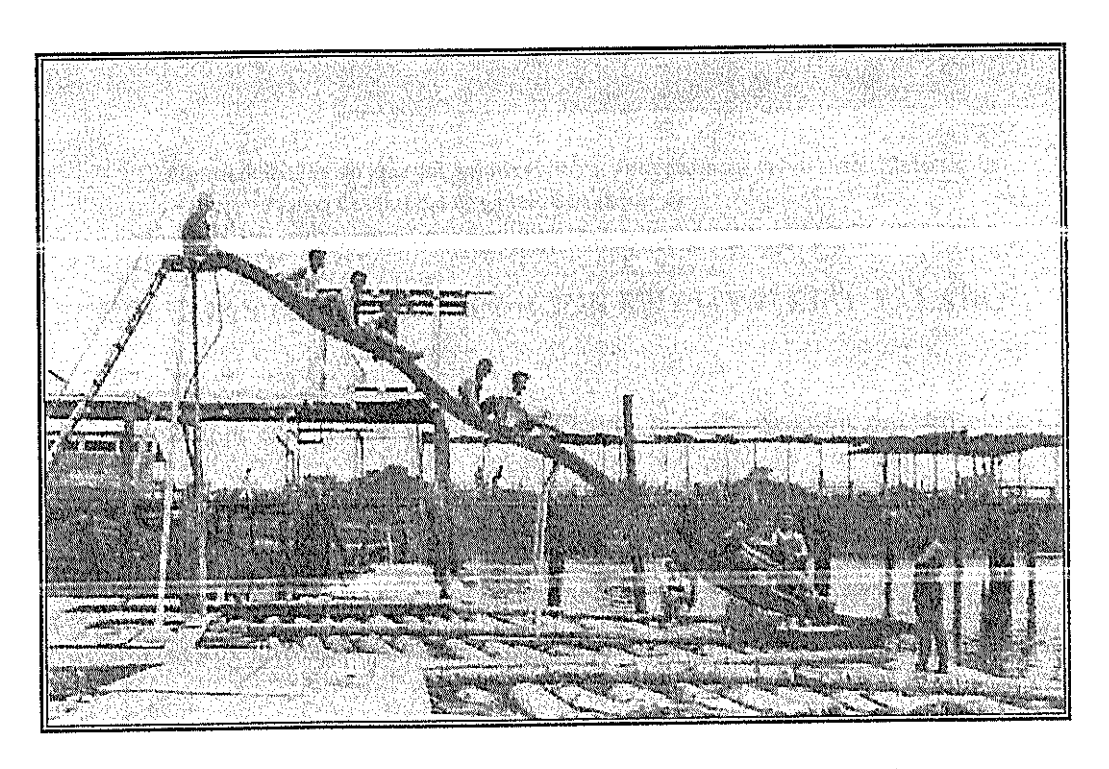


Figura 2: Visitantes disfrutando de los Baños de mar del American Park .

Foto cortesía del Archivo histórico del Banco Central del Ecuador,
Guayaquil ©

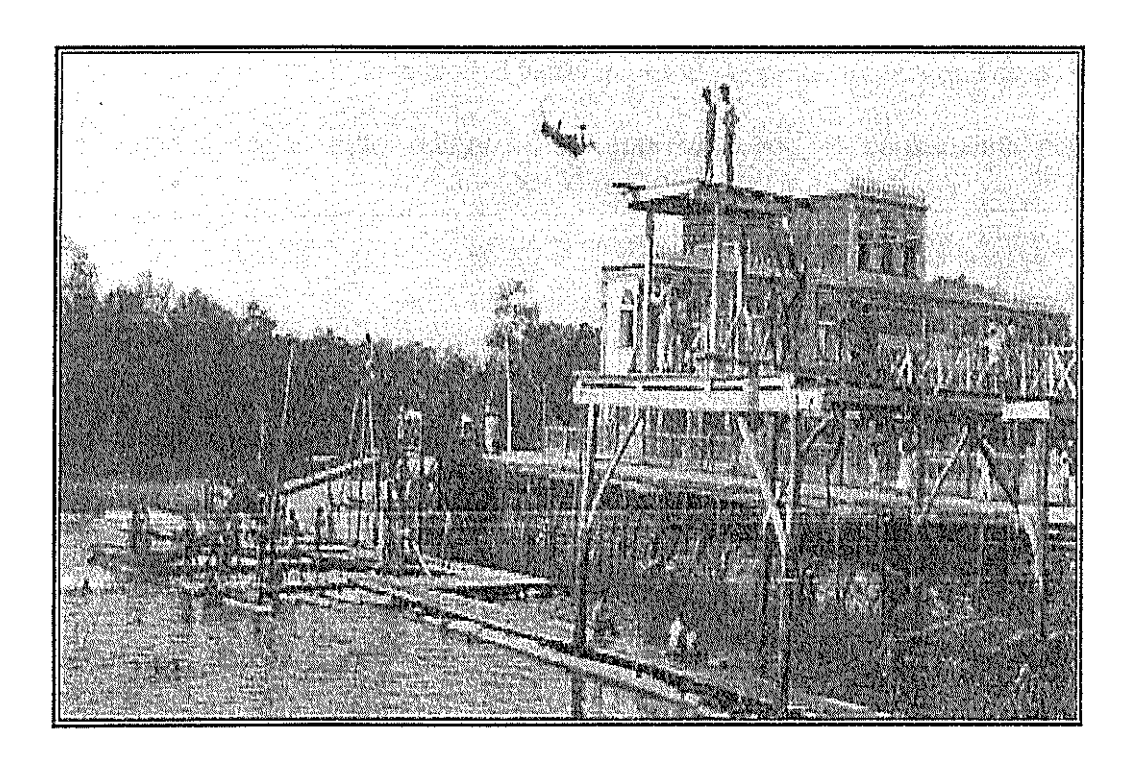


Figura 3: Baños de mar del American Park. Foto cortesía del Archivo Histórico del Banco Central del Ecuador, Guayaquil ©

1.4. PROBLEMAS DE CONTAMINACIÓN EN EL ESTERO SALADO

Podría decirse que es a partir del año 1922 con la inauguración del American Park que se inicia la época de surgimiento turístico del Estero Salado, pero fue el alcalde Assad Bucaram que en 1966 sustituye este atractivo sitio de diversión por el parque Guayaquil con sus jardines y bancas. Por esa misma época el Estero Salado empieza a sufrir las consecuencias de la descarga de efluentes de las industrias asentadas en las estribaciones norte del estero, de igual manera se hace evidente la contaminación por las aguas servidas y el vertido de basura de los pobladores del suburbio oeste.

El desarrollo urbanístico de la ciudad también ha sido el pretexto para que ramales del Estero Salado hayan sido rellenados o represados con el consecuente colapso ecológico generado al brazo de mar.

En la actualidad el grado de contaminación varía de acuerdo al tipo de descarga y desechos que recibe, entre los que constan los industriales y aguas servidas domésticas Con la finalidad de conocer y establecer el nivel de contaminación en el Estero Salado, el Municipio de Guayaquil en 1996 gestionó un crédito no reembolsable con el Banco interamericano de Desarrollo (BID) para financiar los diagnósticos y selección de alternativas para un proyecto de remediación del Estero Salado. La consultora Lahmeyer Cimentaciones fue la elegida y realizo un importante estudio en 1998, de acuerdo a los resultados del mismo 65% de la contaminación es derivada de las descargas domesticas y 35% se atribuye a las descargas industriales. Ver anexo A

Otra fuente contaminante es el vertido de los desechos sólidos en las márgenes y en el mismo cauce del Estero, de acuerdo a los resultados obtenidos del muestreo se tiene que el total de basura (biodegradables, plásticos, maderas y otros) llega a 18.785 kg/mes, esto es cerca de 19 toneladas considerando los dos márgenes. Esto equivales a decir que aproximadamente 230 toneladas de desechos sólidos son vertidos por año al Estero Salado. 4.

⁴ Lehmeyer Cimentaciones, 1998

1.5. ESTADO ACTUAL DE LA CONTAMINACION POR FLOTANTES EN EL ESTERO SALADO

DESECHOS

Dentro de la contaminación del Estero Salado generado por los desechos sólidos, la presencia de desechos flotantes es la que mas llama la atención (figura 4). Ramales libres o represados presentan un aspecto de basurales por las grandes cantidades depositadas por los habitantes de las zonas que no cuentan con servicio público de recolección. La presencia de plásticos en la basura que flota en el Estero Salado y la que se acumula a lo largo de sus orillas es mayoritaria. De acuerdo a un análisis realizado en la basura del Estero⁵ a la altura del estadio de Barcelona en Julio 2002, fue posible identificar en un área equivalente a un metro cuadrado, los siguientes materiales flotantes en cuanto a porcentaje de presencia.

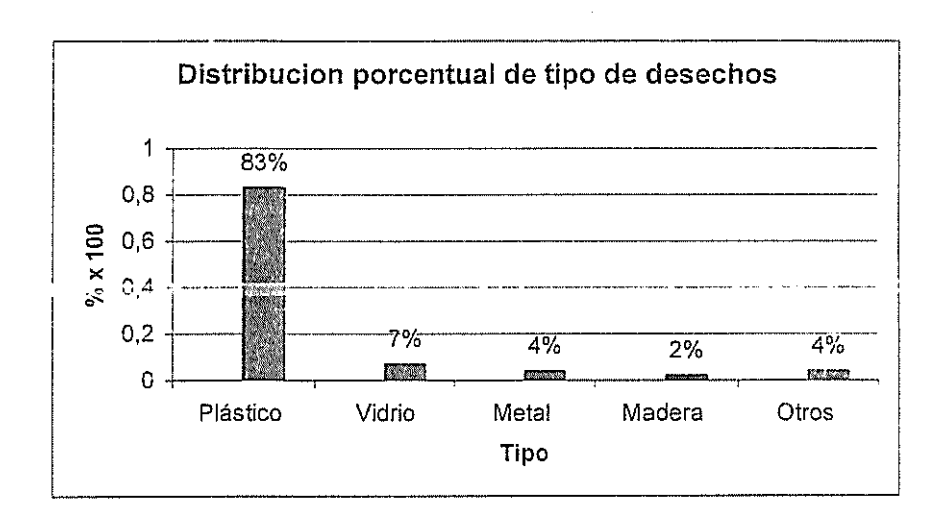


Tabla II: Tipo de desechos en la basura

⁵ José Delgado Mendoza, Análisis volumétrico de basura flotante en el Estero Salado, Puente Barcelona S.C. 8 de julio 2002

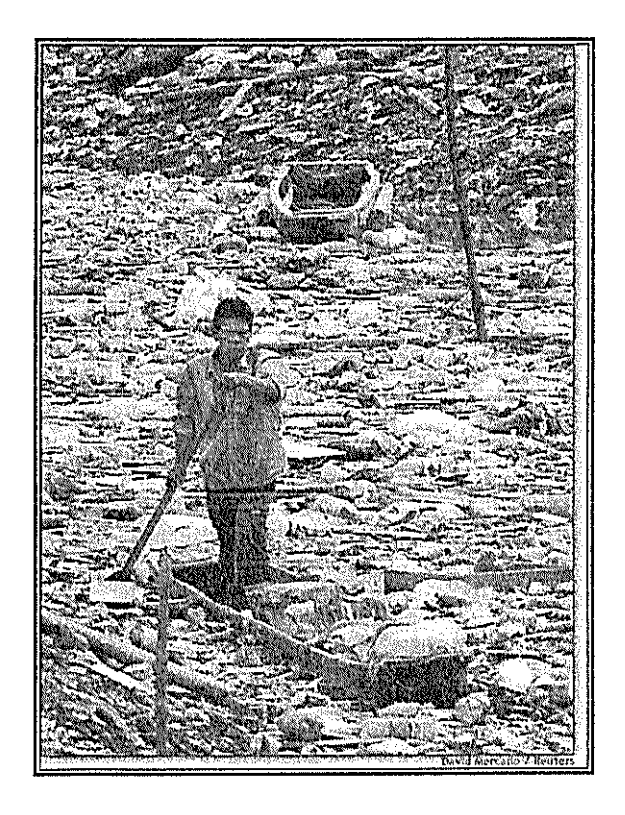


Figura 4: Poblador de las riberas delEstero Salado Foto tomada del Diario EL UNIVERSO ©

Dentro de los materiales plásticos encontrados es posible identificar 10 categorías:

MATERIAL	CARACTERISTICAS
Fundas de plástico	Extensa variedad de materiales y densidades la gran mayoría menores a 30 centímetros
Fragmentos sólidos	Restos de juguetes, de cajas de bebidas, etc.
Botelias	Varios tamaños y materiales, predominan las botellas de bebidas gaseosas, de aceites de cocina y aceite de motor para vehículos
Fragmentos de espumaron	De todos los tamaños, también recipientes como vasos
Tarrinas	De varios colores y de dos tamaño (normal y mediano)
Tapas de botellas	Amplia variedad de tamaño y calidad
Botellas de aceite para motor	Varios tamaños y material

Tabla III: Características de los desechos flotantes

Hay que anotar que el rango de tamaño de desechos flotantes analizados varia entre 20 y 50 cm. A efectos de los cálculos posteriores consideraremos el valor de 30 cm.

Por otra parte, la organización ambientalista Comité Ecológico del Litoral (CEL), viene realizando desde 1993 Jornadas de limpieza de las riberas del Estero Salado, estas mingas se realizan una vez por año. A lo largo de 10 años se pudieron recoger en 13 diferentes áreas un total de 204 toneladas de desechos en las riberas del Estero. Anexo B

Después de 10 años de organizar y ejecutar este tipo de jornadas ecológicas de limpieza que resultaban muy simbólicas y cívicas puede decirse que al menos un miembro de cada familia de Guayaquil pudo concienciarse de la situación del Estero y participar en su limpieza y recuperación. Realizando estas mingas hasta cierto punto riesgosas para los jóvenes estudiantes secundarios de Guayaquil por la cercanía con el estero y el manipuleo de diversos tipos de basura, es que el autor de esta tesis se plantea la posibilidad de contar con una embarcación que realice la limpieza del Estero Salado.

Esta idea pudo plasmarse de mejor manera en las aulas de la facultad de Ingeniería Marítima y Ciencias del Mar de la ESPOL en las asignaturas de Diseño Naval I y Diseño Naval II, en donde las ideas pasan a ser cálculos y planos de formas. El

proyecto del recolector de desechos flotantes empieza entonces a ser conocido y a ser comentado por autoridades locales y las entidades vinculadas al tema. Anexo C

1.6. PLANES DE DESCONTAMINACION DEL ESTERO SALADO

Para atender el problema de la contaminación se ha previsto el "Plan Integral de la recuperación del Estero Salado", mejor conocido como proyecto PIRES. Este estudio presentara diversas alternativas que enfocaran soluciones tendientes a resolver los problemas de contaminación detectados. Su realización es además una respuesta a la demanda de la población y de varias generaciones que crecieron junto al Estero y que hoy observan con nostalgia la destrucción ecológica del mencionado brazo de mar. Los babitantes de Guayaquil aspiran que se logre rescatar sus qualidades y belleza natural, de manera que vuelva a ser un lugar de esparcimiento familiar como lo fue en décadas anteriores.

Las principales actividades que este proyecto realizará se enumeran a continuación:

1.6.1 PROYECTO PIRES

SISTEMA DE INTERCEPCIÓN Y TRATAMIENTO DE AGUAS SERVIDAS

> Revisión, reparaciones y limpieza de los colectores de aguas servidas

MODIFICACIONES Y MEJORAS EN PARTES DE LA RED DE AGUAS LLUVIAS

- > Construcción de estaciones de bombeo: El Progreso, Ferroviaria
- > Pretratamiento mecánico y descarga fluvial el sitio de El Progreso
- > Colector y tratamiento de las aguas servidas en las lagunas Sauces-Guayacanes
- > Uso de letrinas y pozos sépticos en áreas marginales
- > Evacuación de las aguas servidas en las cuencas sureste del Estero

MEDIDAS TRANSITORIAS Y COMPLEMENTARIAS

- > Sistema de aireación en ciertos tramos
- > Dragados de lodos en ciertos tramos del estro Salado
- > Operativos de limpieza
- > Estabilización de taludes

PROGRAMAS ACOMPAÑANTES

- > Monitoreo de descargas, programa de control.
- > Educación Ambiental
- > Reasentamiento de la población en las crillas

> Integración arquitectónica y paisajista del Estero Salado

Uno de los objetivos de este proyecto es el de construir una embarcación para ayudar a la limpieza del Estero Salado, dicha barcaza tipo catamarán en acero fue diseñada y construida en Julio del 2003. Los datos sobre esta embarcación se encuentra en el Anexo D

ZONIFICACION DEL ESTERO SALADO

Para la realización de esta tesis hemos tomado en cuenta la misma distribución establecida por la consultora Lahmeyer Cimentaciones cuya área de influencia de su estudio fue dividida en tres zonas de acuerdo a la situación geográfica y urbanística de cada una.

Es importante aclarar también que al momento de la presentación de esta tesis la zona I ha sido completamente liberada de desechos flotantes, trabajo realizado a través del Catamarán recolector que el Municipio hizo construir para este efecto.

1.7.1. ZONA I

Corresponde a las áreas urbanas con servicios urbanísticos, agua potable y alcantarillado suficientemente adecuados. Existiendo residencias e industrias que descargan sus aguas domesticas y servidas a canales y al Estero Salado:

La zona comprende los tramos interiores del Estero Salado hasta el Puente de la calle 17. Geográficamente comprende los tramos A, B, C, D. Esta zona se presenta como la mas conflictiva, pues ahí se han asentado las diversas industrias de la ciudad de Guayaquil, muchas de ellas no disponen de tratamiento de las aguas residuales y vierten sus aguas directamente a los canales de drenaje pluvial, a los colectores del alcantarillado sanitario o directamente al Estero Salado.

Tramo A	Ramal interior que se dirige al norte, represado entre las ciudadelas Urdesa y Kennedy.
Tramo B	Ramal interior que se dirige al noroeste, comprendido entre el parque deportivo Miraflores y el puente de unión entre las ciudadelas Kennedy y Urdesa, al pie de la gasolinera. Cerca al límite norte del Campus de la Universidad de Guayaquil. En este punto se unen los tramos A y B.
Tramo C	Sección entre la confluencia de las secciones A y B y el Puente 5 de Junio.
Tramo D	Comprendido entre los Puentes 5 de Junio y el de la calle 17.

Tabla IV. Tramos comprendidos en la zona I

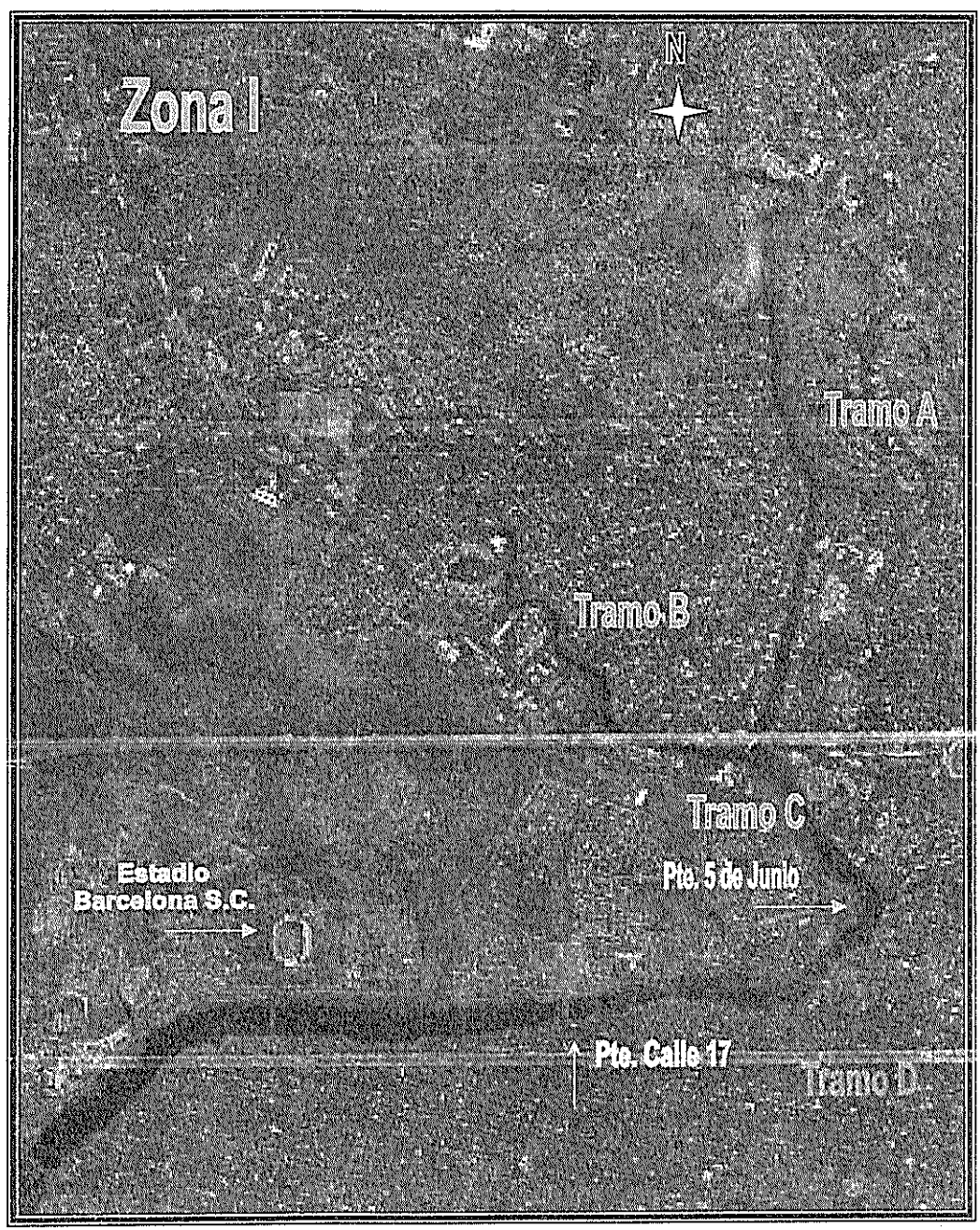


Figura 5 : Estero Salado, Zona I, Imagen Landsat Banda Pancromática, 1996

1.7.2. ZONAL II

Esta zona esta formada por áreas urbanas recientes, no planificadas, que fueron invadidas por gente de bajos recursos económicos, que no disponen de todos los servicios urbanísticos mínimos. En la mayor parte de esta zona existe servicio de alcantarillado y servicio directo de agua potable. La población ha rellenado parte de los esteros para asentarse. Existe acumulación de basuras: Hacia el sur se localiza el Puerto Marítimo, donde se efectúan las diversas actividades portuarias, correspondientes al principal puerto del Ecuador. Esta zona involucra los esteros entre el Puente de la calle 17 hasta Cuatro Bocas y el estero Cobina. La construcción de las viviendas sobre las orillas del Estero, es uno de los graves problemas de la zona, pues ante la falta de servicios básicos como la recolección de basura, la eliminación de los diversos desperdicios se la efectúa lanzándolos directamente en el agua, lo cual contribuye visiblemente a la contaminación del Estero.

Sección entre el Puente de la calle 17 y el Puente Portete.
Comprendido entre el estero Santa Ana y el extremo sur de la Isla Trinitaria, cerca de Puerto Marítimo.
De Puerto Liza a Cuatro Bocas.
Sección entre Cuatro Bocas y el Puerto Marítimo.
Ubicado entre el río Guayas y el Sur de la Isla Trinitaria. En este estero esta ubicado el Puerto Marítimo.

Tabla V. Tramos comprendidos en la zona II

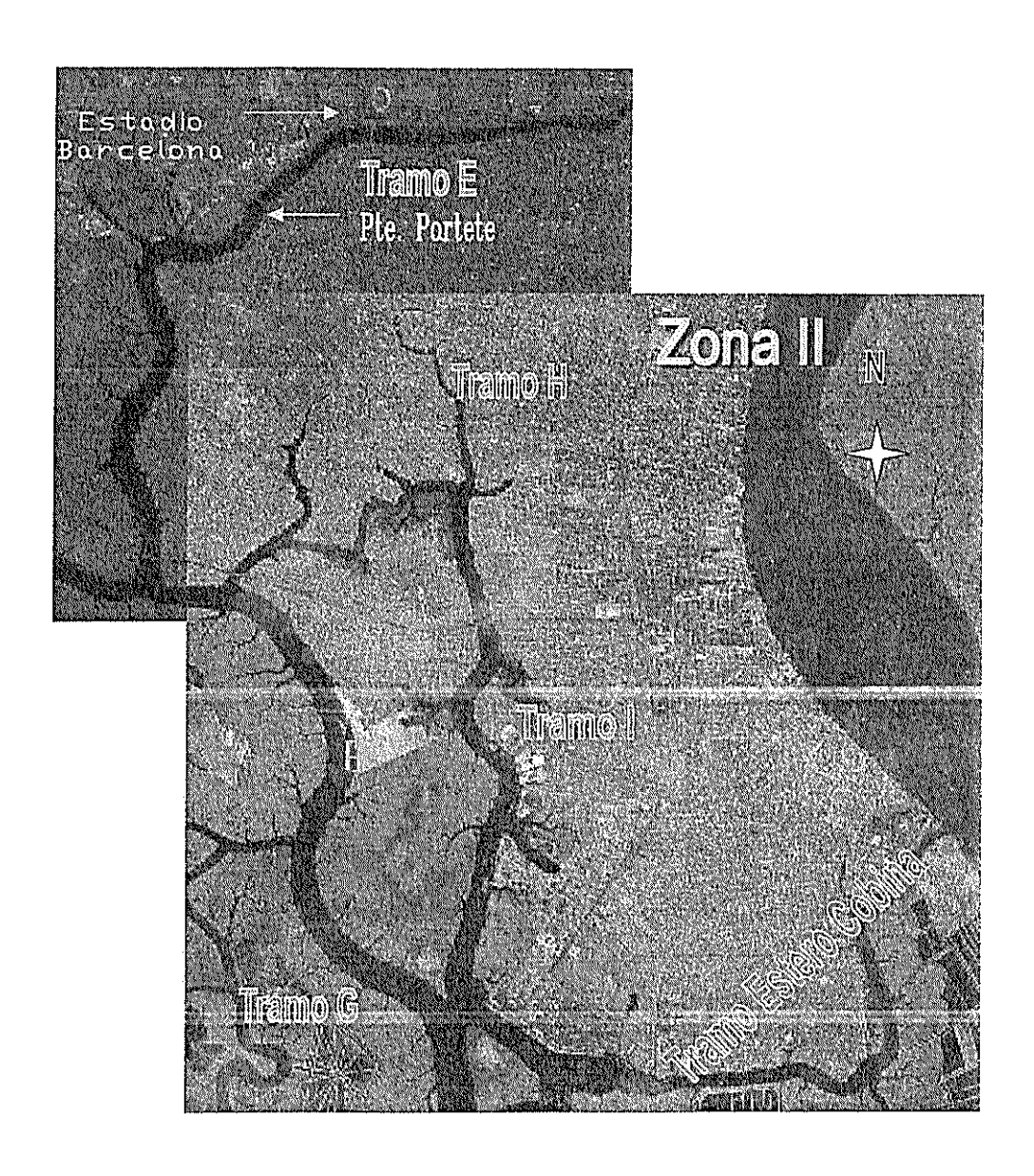


Figura 6 : Estero Salado, Zona I I, Mosaico de Imágenes Landsat Banda Pancromática

1.7.3. ZONA III

En las áreas de esta zona, existe menos interferencia de moradores. Se incluyen los esteros Piano Seco, Montón, Madre de Costal y el Salado, ubicados al Oeste y Sur de la isla Santa Ana y al Norte y Oeste de la isla Esperanza.

	Sección entre el ramal interno que llega a Puerto Hondo y los Esteros Piano Seco,
Tramo Puerto Hondo	Estero Mongon, Estero Madre de Costal.
Domalos verios	Principalmente abarca el Estero y los esterillos al Oeste y Sur de la isla Santa Ana
Ramales varios	y Norte y Oeste de la isla la Esperanza.

Tabla VI. Tramos del E. Salado comprendidos en la zona III

Dentro de esta zona se consideraran tramos en los cuales se han desarrollado cultivos de especies bioacuáticas en cautiverio como el camarón que se podrían ver afectados, por la utilización del agua con bajo oxigeno disuelto.

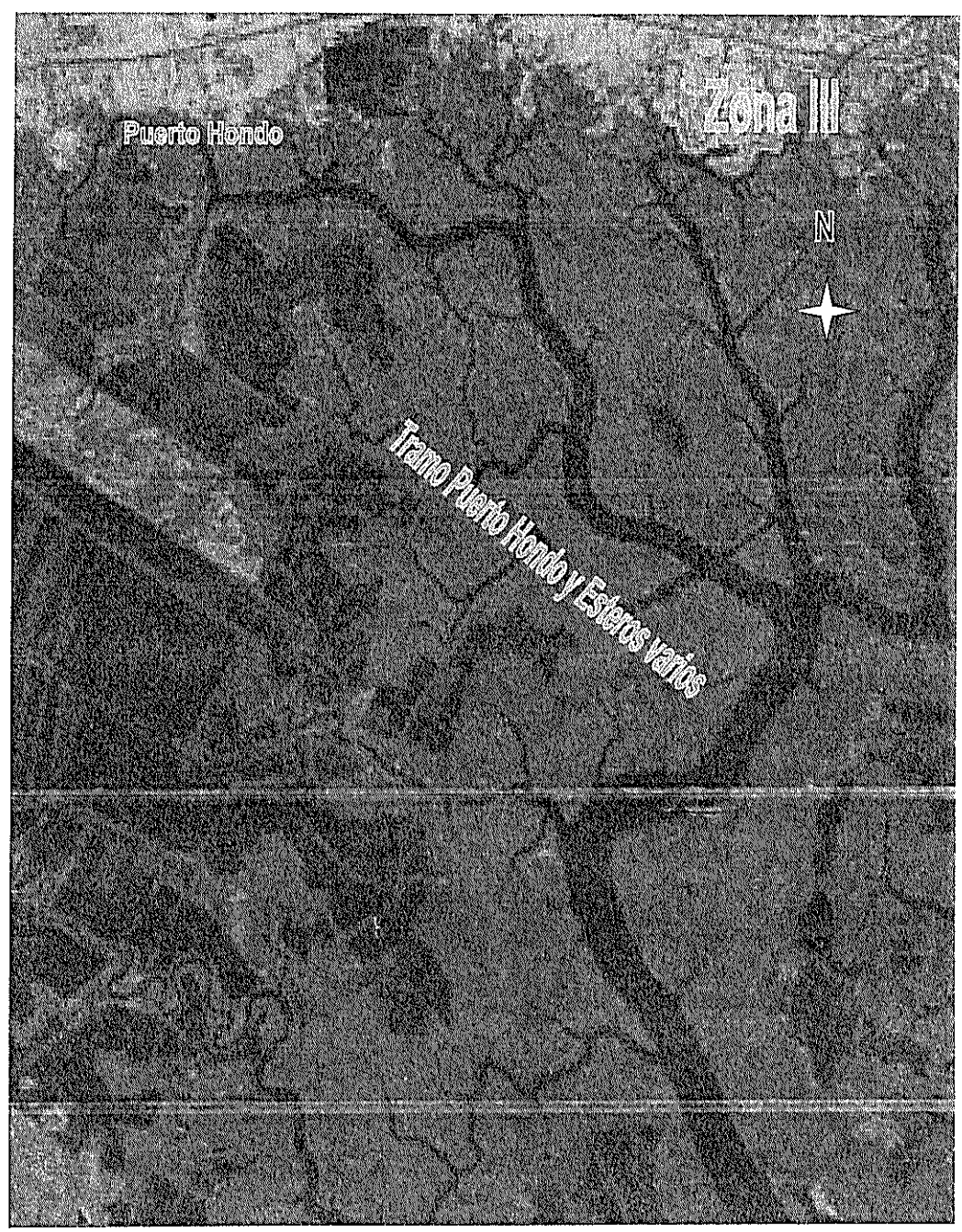


Figura 7. Estero Salado, Zona III, Imagen Landsat Multiespectral.1986

1.8. CARACTERIZACION DE LOS DESECHOS FLOTANTES

La consultoría efectuada por Lahmeyer-Cimentaciones hace una caracterización del tipo de basura encontrado en la zona I. Los resultados se presentan en el siguiente grafico.

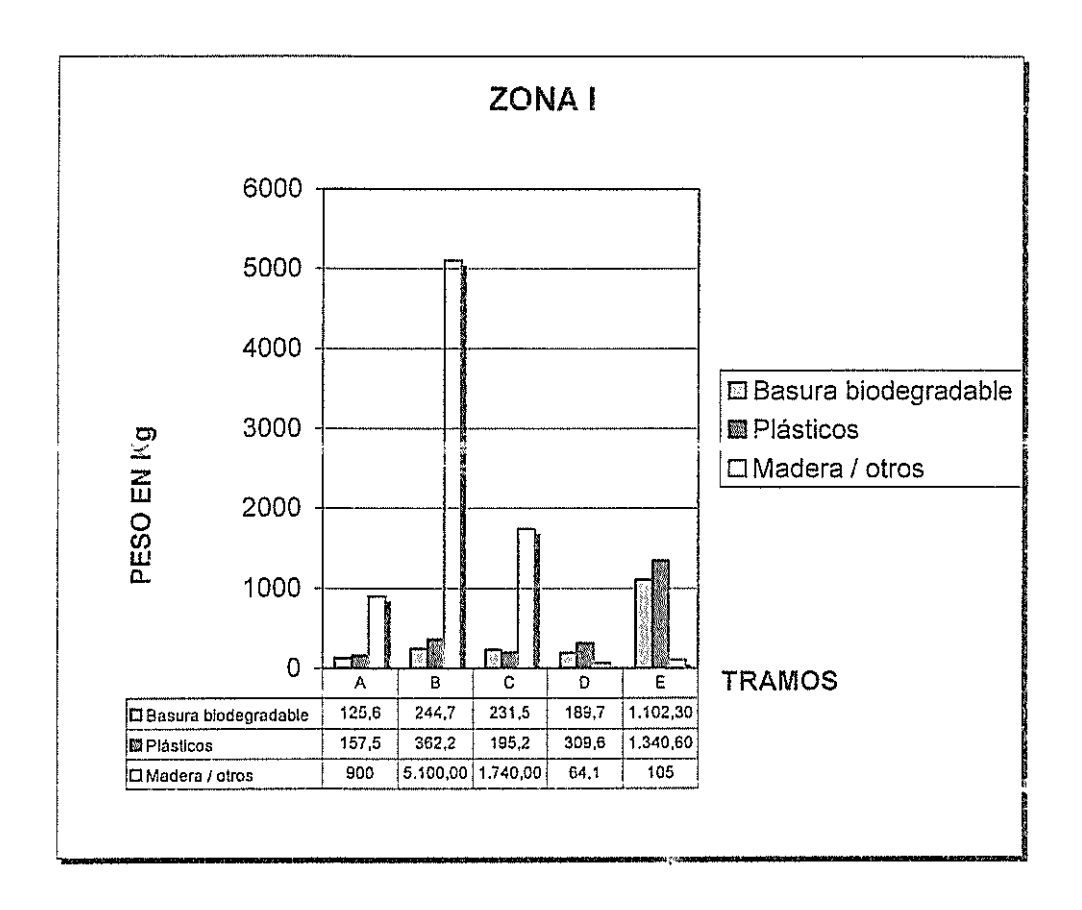


Figura 8. Tipo de basura en el Estero Salado. Fuente: Estudio de Lahmeyer Cimentaciones

1.9. CONDICIONES HIDROLOGICAS Y DE NAVEGABILIDAD DEL ESTERO SALADO

Es importante saber cómo interactúan los tramos del Estero Salado. Conociendo la batimetría, se establecen los volúmenes y superficies de cada tramo, por los diferentes niveles del mar. De los resultados una característica es evidente: la marea mueve grandes cantidades de agua en las partes altas del Estero Salado y en comparación al volumen promedio del cuerpo de agua.

Considerando, además, el desplazamiento cuádruple diario de esta masa de agua y que una gota puede "viajar" hasta 15 Km.⁶., en un solo cambio de mareas, se aprecia que es perfectamente justificable considerar los tramos A - E como un solo cuerpo de agua que sufre en conjunto la contaminación recibida en cualquier parte de este sistema hidráulico tan complejo.

Lahmeyer Cimentaciones realizo un estudio de batimetría de los tramos altos A hasta F, disponiendo así por vez primera de información y datos confiables sobre las características del Estero Salado. Los resultados principales son:

-

⁶ Lahmeyer Cimentaciones, 1998

TRAMO	LONGITUD	SUPERFICIE	VOLUMEN	VOLUMEN
		Marea media	Marea media	Marea alta
	m	m2	m3	m3
A	3.882	119,000	301.000	507.000
В	4.271	104,000	160.000	350.000
С	1.158	117.000	351.000	410.000
D	1.696	201.000	968.000	1.071.000
E	2,918	504.000	3.175.000	3.431.000
F	4.853	1.264.000	12.151.000	14.093.000
TOTAL:	18.778	2`309.000	17`106.000	19`862.000

Tabla VII. Batimetría del Estero Salado

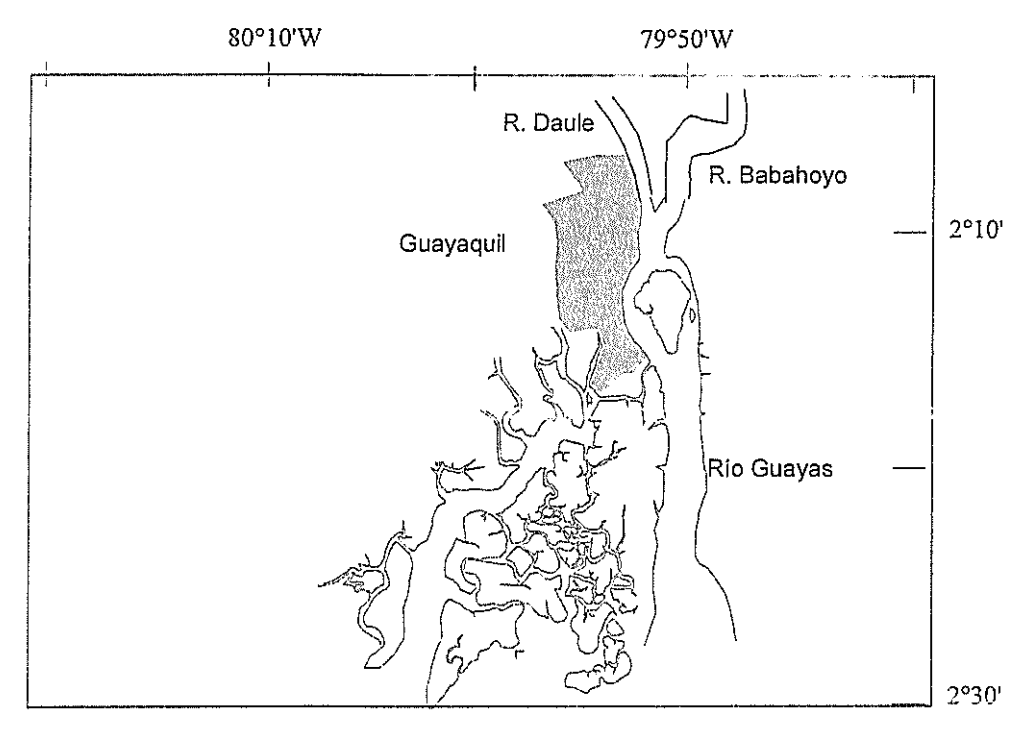


Figura 9. Area que comprende el proyecto PIRES

CAPITULO DOS

SELECCION DEL SISTEMA DE RECOLECCION DE DESECHOS SÓLIDOS

2.1 NECESIDADES

Ampliar el área de recolección de los materiales de desecho flotantes es una necesidad inmediata para el Estero Salado, y también para otros cuerpos de agua que sufren este problema en el mundo.

En algunos ramales del Estero Salado la basura flotante tiende a amontonarse haciendo necesaria la utilización de un sistema de recolección que podría realizar el trabajo en poco tiempo y de manera efectiva.

En el capitulo 1 se establece que la cantidad de desechos flotantes presentes en el Estero Salado equivalen a <u>18 toneladas / mes</u> Esto hace pensar en la necesidad inicial de limpiar los desechos existentes hasta ahora y a partir de eso recolectar un promedio de <u>630 Kg. / día</u> de desechos.⁷

⁷ Lahmeyer Cimentaciones, 1998

Debido a esto la necesidad de una embarcación ligera cuyo peso y tamaño permita su acceso a estas zonas hace evidente que la misma cuente a la vez con un sistema de recolección que sea práctico, ligero y sencillo pero consistente y productivo.

Si la intención del proyecto es la de limpiar un cuerpo de agua que esta sumido en la contaminación, habría que pensar entonces en que la utilización de la embarcación no genere más contaminación, por tanto un detalle importante del nuevo diseño es que considere la opción de utilizar un sistema de propulsión fuera de borda eléctrico o convencional, el primer caso es el ideal para una embarcación ecológica, ya que se trataría de una opción en base a una energía renovable y limpia, que no genere contaminantes y que en caso de accidente la posibilidad de contaminación del agua sea reducida. En el caso de un motor fuera de borda convencional se optara por modelos con alto rendimiento y ahorro de combustible. La aplicación de la opción de propulsión eléctrica y de otras consideraciones tecnológicas alternativas del diseño general estarán sujetas a la decisión final del armador ya que hay que considerar la posibilidad de importar equipos que no se encuentren disponibles localmente.

El desarrollo de este capítulo apunta también a describir las características y el funcionamiento del sistema mecánico que a bordo de una embarcación tipo catamarán recolecte la basura que flota en el Estero Salado para una posterior disposición responsable de los mismos. Para esto se proponen algunos sistemas de recolección de los cuales se consideraran ventajas y desventajas de ellos y se seleccionará la mejor

opción. Se trata de un aporte tecnológico a la resolución de un problema ambiental local y que también puede extenderse a atender las necesidades de recolección (limpieza) en sitios como muelles, dársenas, lagos, embalses, etc. Las técnicas a considerarse abren la posibilidad de adaptarlas en otras situaciones como por ejemplo la recolección de lechuguines en los embalses de las represas del país.

Nuestro interés es el de describir los sistemas existentes y elegir uno de ellos para aplicarlo en el proyecto. Posteriormente se hará un diseño detallado del sistema seleccionado y en vista de ello se determinaran las características de la embarcación apropiada para el sistema propuesto.

El procedimiento de selección

- Selección del sistema entre varias opciones
- Diseño del sistema seleccionado: medidas y cálculos de operación
- Determinación de las características de la embarcación apropiada para el sistema propuesto

Una vez determinado el sistema este debe ser capaz de:

• Recoger la basura flotante

- Ser eficiente (peso añadido a la embarcación, cantidad de material recolectado, gasto de energía, otros)
- Ser versátil (recolector, rescate, supervisión)

2.2 PROCEDIMIENTO DE SELECCIÓN

El proyecto busca elegir un sistema idóneo que permita la recuperación de material flotante en cuerpos de agua, por tanto los sistemas establecidos como potencialmente adecuados se someterán a selección mediante una matriz cuyos principales elementos de criterio serán los siguientes:

- Tipo de embarcación
- Nivel tecnológico y equipos auxiliares:
- Cantidad de equipos que requiere
- Tipo de energía que utiliza y consumo
- Capacidad de recolección, Operatividad (maniobras y versatilidad)
- Costo US \$
- Peso y dimensiones
- Ventajas
 - a.-: Con relación a los otros sistemas
 - b.- Con relación al problema

Desventajas

a.-: Con relación a los otros sistemas

b.- Con relación al problema

2.3 DESCRIPCIÓN DE LOS SISTEMAS

Las embarcaciones que realizan trabajos de recuperación de desechos sólidos o de contaminantes vertidos al mar son en su mayoría equipos de gran envergadura, con sofisticados implementos hidráulicos, neumáticos y mecánicos. A continuación se hace una descripción de tres tipos de recolectores, dos de ellos en actividad y el restante en etapa de diseño.

2.3.1 RECOLECCIÓN POR CINTA TRANSPORTADORA

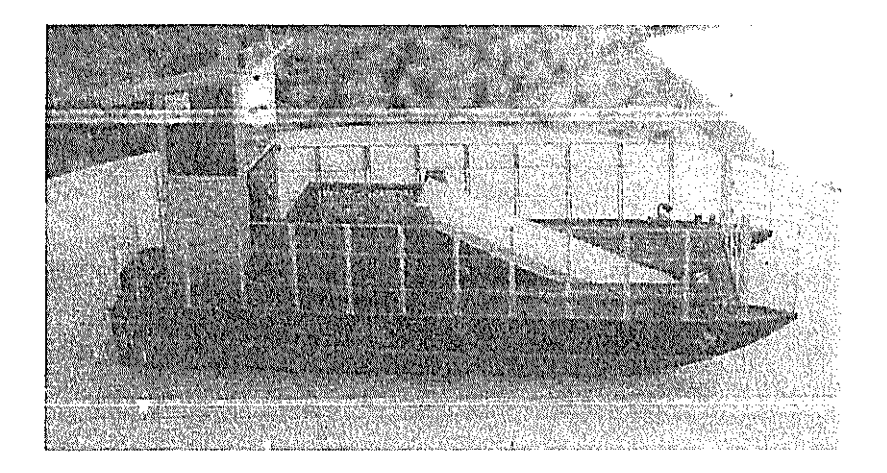


Figura 10. Recolector por cinta transportadora.

Descripción.- Puede decirse que es el más básico de los sistemas Conforme avanza la embarcación, los sólidos son izados en forma continua con el movimiento de la cinta; hasta un recipiente que los colecta. El recipiente una vez lleno es cambiado por otro vació. La cinta utiliza un motor eléctrico asistido por la energía generada por un generador eléctrico.

2.3.2. PALA Y SISTEMA HIDRÁULICO DE ELEVACIÓN

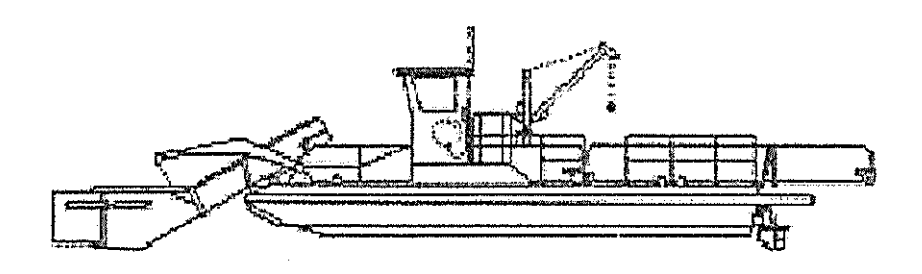


Figura 11 Recolector por sistema hidraulico de elevacion

Descripción.-Consiste en un sistema conformado por una pala hidráulica semisumergida que recolecta y deposita los desechos en un contenedor tipo canasta que esta colocado en el espacio entre los cascos y que se extiende hasta popa ampliando el espacio de carga. La embarcación tiene además una grúa que permite la extracción del contenedor de basura.

2.3.3 MIXTA: EXTENSIÓN DE LA PROA QUE SE ABRE MÁS PARRILLA HIDRÁULICA Y CANASTA RECOLECTORA

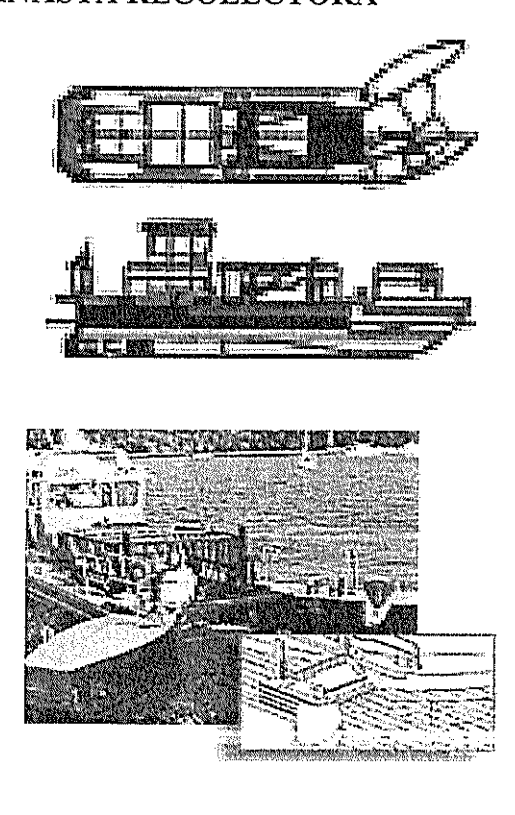


Figura 12. Recolector de proa abierta.

Finalmente el último sistema de recolección consiste en una embarcación tipo catamarán cuya proa se abre en V permitiendo que la basura flotante se dirija a la parte interior de la embarcación en donde la espera una rampa transportadora que lo lleva hasta la parte media en donde la separación de los cascos crea un recipiente Probablemente la opción que requiera de menos trabajo humano, lo que se debe compensar con acción mecánica de la maquinaria a instalar.

Z	7
Ċ	5
F	4
Ų.	2
ξ.	3
Ĺ	_
でしていてはど	
MATERIZE DE	1
١,	J
-	3
₽	4
	4
<	ς
7	-
_	7

	Desventajas a: Con relación a los otros sistemas b Con relación al problema	a Su capacidad de carga esta limitada a sus dimensiones. b Capacidad de recolección esta sometida al tamaño de los desperdicios. Por eso se toma en cuenta el aproyo de la tripulación ante desechos grandes que deberán ser izados a mano	aSu precio es alto to hace no competitivo frente a otras opciones. b embarcación de uso especifico, sin versatilidad
	Ventajas a: Con relación a los otros sistemas b Con relación al problema	aSus cascos están construidos en madera con forro de Fibra de Vicdricoxica . Su cubierta es de rejilla en plástico reforzado. Su sistema de propulsión es mecánico b. Fácil de transportar, Ligero. Esto permite desplazatlo via terrestre a cuerpos de agua Interiores. Su versatifidad permite no solo usarlo para limpieza sino para concienciación ecológicas o visitas de control	a puede ser propulsado por palas hidráulicas o por un motor estacionario a diesel b Embarcación con buena capacidad de carga, y un sistema de propulsión versálii. Su sistema de recolección le permite cotectar incluso desechos en los lechos de los cuerpos de agua
	Peso y dimensiones	Liviana.Desplaz. 1.8 Ton. 7 m * 3 m * 0.80 m Capacidad de carga:3m3. Posibilidad de ser transportado a otros silios donde su presencia sea requerida	Desplazamiento 12Ton. 12 m * 3.00 * 1.0 m . Capacidad de carga: 6 ton Construido en Acero
	Costo US \$	50 .000 (estimativo)	350.000 (valor comercial. información recabada por comunicación con el fabricante*
	Capacidad tle recolección, Operatividad (maniobras y versatilidad)	Capacidad: 3 m3 Operatividad: Autonomia: 8 horas Maniobrabilidad: La que brinda sus formas y el sistema de propulsión fuera de borda. Versatilidad: Útil para actividades de limpieza, de rescate, de Vigilancia y control.	Capacidad: 6.5 m3 Por determinar Operatividad: 4 tript fantes
	Tipo de energía que requiere y consumo	Propulsión: Fuera de borda Banda: Electro-mecánica. Podría ser convertido a una embarcación de propulsion eléctrica a través de un banco de baterias. De un motor eléctrico estacionario o fuera de borda y de un sistema de carga de batterias conectado a la linea publica o de un techo de paneles solares.	Propulsión: Diesal Sistema de recolección: Bomba hidráulica accionada por motor diesel
DECISIÓN	Nivel tecnolégico y equipos auxiliares: Cantidad de equipos que requiere	Embarcación de fácil construcción, materiales locales y económicos. Propulsión : Fuera de borda convencional Equipos del sistema de recolección. Banda: Cálculos y mecánica básica, materiales focales.	Embarcación : Acero Naval, Propuls-ón Diesel, Bombas y sistema hidráulico
2.4 MATRIZ DE DECISIÓN	Criterios	CINTA	PALA Y JISTEMA HYDRAULICO DE ELEVACION

Su precio, peso, sistema y equipamiento to convierten en una embarcación muy cara para el medio
aEste sistema se presenta como el mas eficiente técnicamente por su esquema simplificado b. Capacidad de carga, recolección en la línea de flotación
Desplazamiento 9 Ton. 11.8 m * 2.50 * 0.9 m . Capacidad de carga: 6 m3 Construido en Acero
400.000 (valor comercial. información recabada por comunicación comunicación fabricante.
Capacidad: 6 m3 Operatividad: 5 trip::lantes
Propulsión: diesel Sistema de recolección: bomba hidráulica accionada por molor diesel abre la puerta, una turbina genera una succión que hace que la basura entre al sector de recogida una parrilla bajo la basura es levantada hidráulicamente hasta depositar el contenido en una canasta
Embarcación Acero naval, propulsion Diesel, Sistema de elevación hidráulico
FIIXTA: PROA QUE SE ABRE + PARRILLA RECOLECTORA

De acuerdo a las condiciones del Estero Salado establecidas en el capítulo 1, y la tabla de comparación anterior, se puede decir que el primer caso examinado reúne las condiciones necesarias para el sistema de recolección deseado.

ELECCION DE EQUIPOS PRINCIPALES Y ACCESORIOS

Los dos principales equipos con que cuenta el catamarán son la banda transportadora y la canasta de recolección. El diseño de los mismo se abordará en los sub capítulos siguientes. Posteriormente se

2.5.1 DISEÑO DE LA CANASTILLA DE RECOLECCION

Las características y dimensiones de la canastilla recolectora se muestran en la siguiente tabla, los criterios de estimación fueron los siguientes:

La canastilla debe:

- Ser elaborada en acero inoxidable u otro material que nos sea afectado por la salinidad del agua a la que estará expuesta
- Estará parcialmente bajo la cubierta
- Estará ubicado entre la sección media y la popa

- Llevará elementos de agarre para ser extraída y colocada por una pluma externa.
- Su parte superior estará directamente al alcance de la parte alta de la banda transportadora

Detalle	Característica	Dimensión	Justificación
Material	Plancha de Acero Inoxidable ranurado	Altura: 1.5m Ancho: 2 m Longitud 1 Espesor plancha: 2-3 mm Diámetro ranura :15 – 20 mm	Material que no sea afectado por el agua salada y que a la vez sea resistente. Ranurado para permitir el drenaje
Peso de la basura	Material Plástico, Vidrio, Maderas, etc	Hasta 0.54 T/dia	En base al peso especifico de la basura (180 kg/m3) y el volumen de la canasta.
Cadenas y Argollas para levantamiento	Acero Inoxidable	1. 5 m de cadenas. Argollas de 20 cm de diámetro	La canasta será izada desde puerto a través de poleas de cadena

Tabla IX. Partes de la canastilla

Ver los detalles en el Anexo E

2.6 DISEÑO DE LA BANDA TRANSPORTADORA

El objetivo de la embarcación es el de recolectar material flotante, el sistema escogido para este efecto establece el uso de una banda transportadora, queda

53

El objetivo de la embarcación es el de recolectar material flotante, el sistema

escogido para este efecto establece el uso de una banda transportadora, queda

claro que una de las condiciones del diseño de la embarcación será el de

ajustarse a las dimensiones y capacidades del sistema.

Para el cálculo de la banda transportadora se consideran los siguientes

aspectos[2]

1. Densidad del material a transportar.

2. Dimensiones del ancho, longitud y velocidad de la banda

Material a transportar: Basura húmeda, restos de madera, plásticos.

Densidad: De las mediciones realizadas con basura recolectada del Estero

Salado en la zona del estadio del Barcelona S.C.8: se obtuvo la siguiente

información:

40 Kg./m3 para material plástico y 100 Kg./m3 para material mezclado

(Materiales plásticos, materiales biodegradables, vidrios y otros).

⁸ Estudio realizado por José Delgado en julio del 2002.

Considerando que los desechos están húmedos y que suben a la banda con agua vamos a incrementar el valor del peso específico a 180 kg/m3 a efectos del cálculo de la banda y de la canasta recolectora.

El tamaño de los desechos recolectables se encuentra en un rango entre 10 y 50 cm. 9 correspondiente a material sin clasificar. Para efecto de los cálculos se propone un promedio de 33 cm. por trozo de basura.

Este valor permitirá entrar en el cálculo de la cinta transportadora dadas las siguientes condiciones:

PARAMETROS	VARIABLE	VALOR Y UNIDADES
Material a transportar	Basura húmeda sin clasificar	
Tamaño Máx. del material	а	33 cm = 13 pulg.
Tonelaje por turno	Qt	0.3 ton/ turno
Longitud de transporte	Ł	3m = 300 cm
Inclinación	α	30 °
Peso especifico del material	đ	0.18 ton / m3
Horas de trabajo por turno	h	4 h/turno

⁹ Cabe anotar que para el caso de los animales muertos y los materiales de desecho grandes (muebles, por ejemplo) se propone empujarlos hacia la orilla desde donde se optara por una recolección manual bajo acuerdo con la entidad que hace el servicio normal de recolección.

Turnos por día	T	2 turnos/dia
Rendimiento del motor	N	80%
Coeficiente de rozamiento de los rodillos	f	0.025

Tabla X Parámetros de la Banda transportadora

La banda calculada presenta las siguientes características

Ancho de la banda = 1 m

Longitud de la banda = 3 m

Espesor de la banda = 5 capas = 10 mm.

Q máx. = 0.15 ton / h

La velocidad de la cinta es igual a:

V = 0.222 m/s

Motor eléctrico de 3/4 HP

El peso de la cinta con las características examinadas es de 940 lb. es decir 0.42 ton. En acero inoxidable.

Ver anexo F

2.6.1 PRUEBA DE LA BANDA DE RECOLECCION

El el laboratorio de Hidrodinámica de la FIMCM se evaluó la capacidad de servicio de un modelo del recolector. La intención fue la de verificar el comportamiento de la banda. El reporte se encuentra en el ANEXO I.

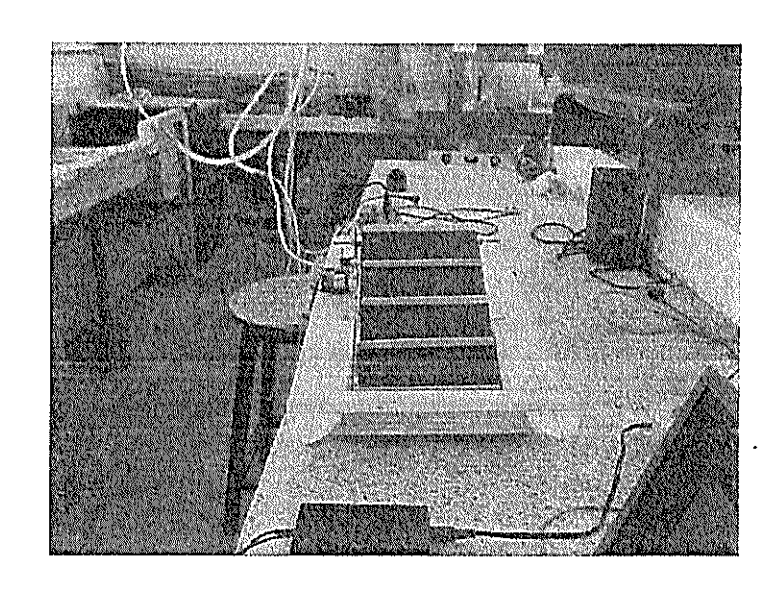


Figura 13 Sistema de Banda recolectora instalado en un modelo, Laboratorio de Hidrodinámica FIMCM

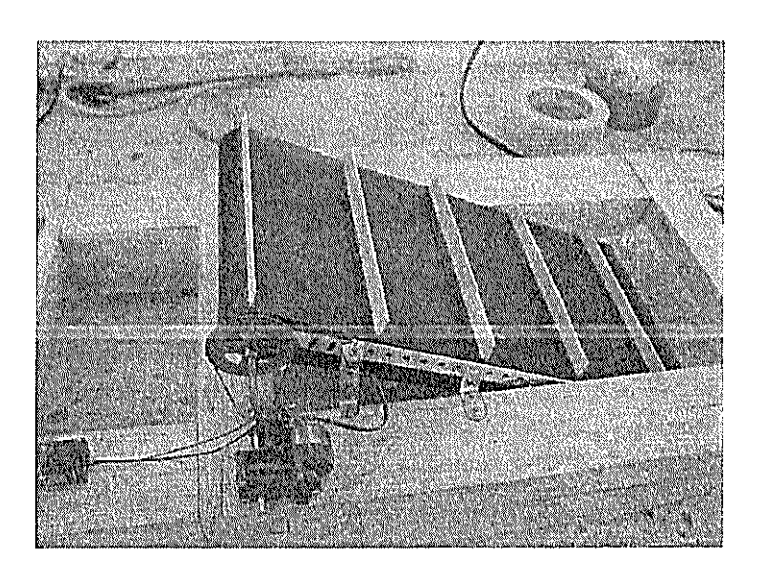


Figura 14.- Banda y motor de accionamiento Laboratorio de Hidrodinámica FIMCM

CAPITULO 3

DISEÑO PRELIMINAR DE LA EMBARCACIÓN

3.1 REQUERIMIENTOS DE DISEÑO

- La embarcación debe ser construida localmente,
- En cuanto a su autonomía la embarcación requerirá suficiente energía para recorrer 70 km/dia y tendrá una velocidad de trabajo de 2 nudos y de 6 nudos a toda marcha.
- Debe ser desmontable de tal manera que pueda ser transportada
- La embarcación deberá ser operativa en todos los tramos establecidos en el proyecto PIRES y definidos en el capítulo 1 de esta tesis, esto significa que deberá considerar las condiciones hidrográficas y náuticas de dichos tramos del Estero Salado
- La tripulación consistirá en dos personas que:
 Conozcan y tengan la experiencia de navegación en el Estero Salado
 Conozcan y estén en capacidad de operar los equipos instalados a bordo

Puedan desembarcar la basura recolectada después de cada recorrido

La maquinaria utilizada para su propulsión será un motor fuera de borda de pata larga y para la banda de recolección de basura un motor eléctrico accionado por un generador a diesel.

En caso de urgencia o necesidad la embarcación podrá utilizarse en otras actividades para la que sea requerida: Salvamento, recorridos de inspección y supervisión de obras, etc.

3.2 CONDICIONES METEOROLÓGICAS

Para Guayaquil las condiciones ambientales promedio son las siguientes:

	TEMPERATURA (°C)					VIENT	NUBE	PLUVIO	
SECTOR -	Máxima		Mini	Minima DA		DE LA	O (m/se	S	METRI A
	Seco	Húmedo	Seco	Húmed o	(%)	MAR	g)	(X/8)	(mm)
Guayaquil	36.9	30.2	14.5	21.7	78	1	1.5	6	241.4

Tabla XI. Condiciones Metereologicas de Guayaquil. Fuente: INOCAR,2003

Considerando la tabla XI se puede decir que el catamarán operara en condiciones de estado de mar tranquilo

3.3. RECORRIDOS DE LIMPIEZA

Limites	Tramo	Distanci a (Km.)	Viajes de ida y vuelta *	Distancia recorrida (Km)	Observación
Urdesa Norte – Kennedy (Policentro) Estero represado	Α	3.882	2	15.552	El ramal esta represado en dos sectores : Urdesa- Policentro y Policentro – Urdesa Norte
Urdesa central – Mapasingue	В	4.271	2	17.084	
Puente 5 de Junio – Gasolinera Urdesa	С	1.158	2	4,632	
Puente 5 de Junio – Puente 17	ם	1 696	2	3 392	
Puente 17 - Pte Portete	E	2.918	2	11.672	
Otras zonas a determinar	х	4	2	16	
TOTAL RECORRIDO		17.082	2	68.332	

Tabla XII. Recorridos del recolector

Autonomía de trabajo = 70 Km.

^{*} VIAJES DE IDA Y VUELTA Se refiere a la cantidad de viajes de ida y vuelta necesarios para cubrir la zona, considerando el ancho del estero y el alcance de la manga de la embarcación

3.4. RESTRICCIONES DE DISEÑO

La más importante restricción es la correspondiente a la profundidad en los ramales del Estero Salado en los que va a realizar el trabajo de limpieza. Como dato recabado de personas que navegan y conocen el Estero Salado se obtiene el valor de entre 3 y 4 metros como profundidad promedio. Sin embargo puede darse el caso de calados de hasta 0.5 m cercanos a las orillas

El estudio batimétrico en diversas zonas del Estero Salado están establecidas en la tabla VII del Cáp. 1 datos que tiene como fuente el estudio Lahmeyer Cimentaciones

3.5 DIMENSIONES PRINCIPALES

Dado que nos encontramos frente a una embarcación no -convencional como es el caso de esta tesis, intentaremos sobre la base de algunas embarcaciones similares existentes en el mercado internacional realizar un análisis regresional. Se asume que el hecho de que las embarcaciones sean utilizadas para el mismo objetivo hacen que puedan ser consideradas como base para obtener las dimensiones preliminares.

Para la determinación de las dimensiones principales una de las herramientas mas utilizadas es la del análisis regresional. Este método consiste en graficar las dimensiones principales de varias embarcaciones de un tipo determinado de tal manera que puedan obtenerse curvas regresionales que relacionen los valores de sus dimensiones. Para tener una idea del área de cubierta que el catamarán necesitará para las instalaciones y su operatividad se consideran los diferentes valores aproximados de área de cubierta obtenidos de embarcaciones similares mostrados en la Tabla XIII.

MODELO	ESLORA	AREA CUBIERTA
Beach Trotter	ნ,20	12,30
JFB 420	7,00	20,00
JFB 440	10,00	28,50
ODC 800TD	8,70	25,80
Rover 12	10,90	27,25
Rover 13	13,50	41,30
Rover 14	13,70	41,50
Rover 20	20,00	58,00

Tabla XIII .Características de embarcaciones similares

Graficando los valores Área de cubierta vs. Eslora se trazará una curva regresional que permitirá ingresar el valor de área de cubierta requerida para el catamarán y así obtener el valor de la eslora correspondiente.

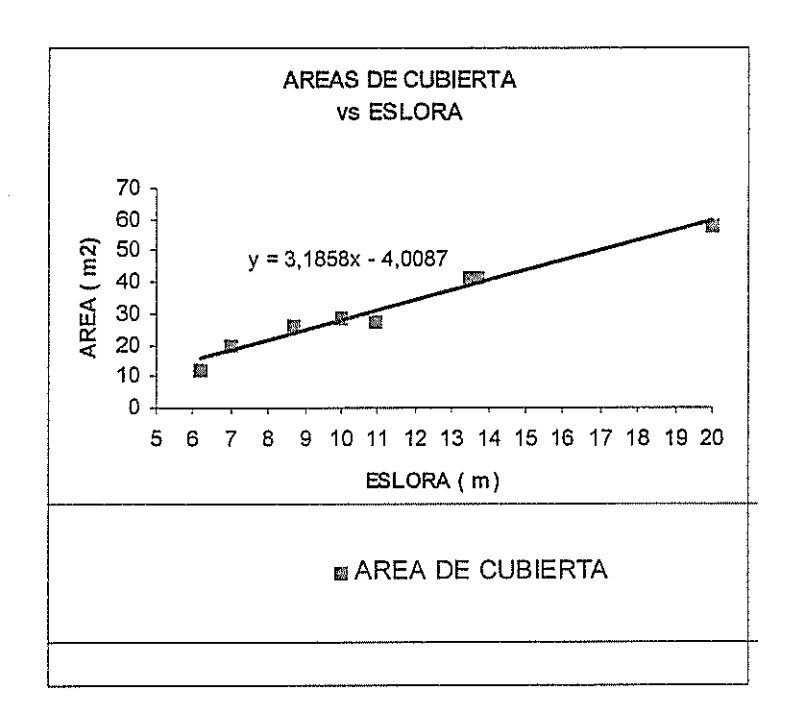


Figura 15. Variación de las áreas de cubierta vs. la eslora

Los requerimientos de área de cubierta para nuestro diseño seran:

REQUERIMIENTOS	CANTIDAD	AREA UNITARIA (m2)	AREA TOTAL (m2)
MANDO	1	1.17	1.17
BANDA TRANSPORTADORA	1	4.03	4.03
CANASTA	1	3.00	3.00
PASILLOS Y ZONA DE SERVICIO	1	10.5	10.5
			18.7

Tabla XIV Requerimientos de área de cubierta

63

Por tanto llevando el valor del área requerida a la ecuación de regresión lineal

de las curvas de áreas de cubierta y área de cabina vs. eslora respectivamente

se puede encontrar que corresponde al valor de eslora de:

$$y = 3,1858x - 4,0087 \tag{1}$$

Reemplazando y despejando variables tendremos que:

$$L = (18.7 + 4,0087) / 3,1858$$

L calculada = 7.1 m

L csthmada = 7 m

Una vez obtenido el valor de la eslora (L) puede encontrarse las demás dimensiones sobre la base de los datos de los catamaranes ya existentes y que

realizan tareas similares al catamarán a diseñar.

Estos datos se relacionan con la eslora de los catamaranes y se establecen ecuaciones de regresión lineal.

		T		T			·	
Descripción	L total (m)	W(m)	B(m)	(W-2B)/L	T (m)	В/Т	DESP(Tm)	Съ
			West from					
1.1.1 JFB 420	7	2,4	0,45	0,21	0,45	1,07	1,81	0,25
JFB 430	10	3	0,6	0,18	0,6	1,00	2,81	0,16
Twin Type 9/3 barge	9,8	3,05	0,61	0,19	1,07	0,57	6	0,19
STA-4	11,8	2,5	0,35	0,15	0,9	0,39	9	0,35
ODC 800TD	8,7	5,2	1,40	0,27	0,3	4,80	4,5	0,34
BeachTrotters	6,2	1,96	0,5	0, i5	0,35	1,43	1,077	0,26

Tabla XV Dimensiones para análisis regresional

3.5.1 Desplazamiento Vs. Eslora

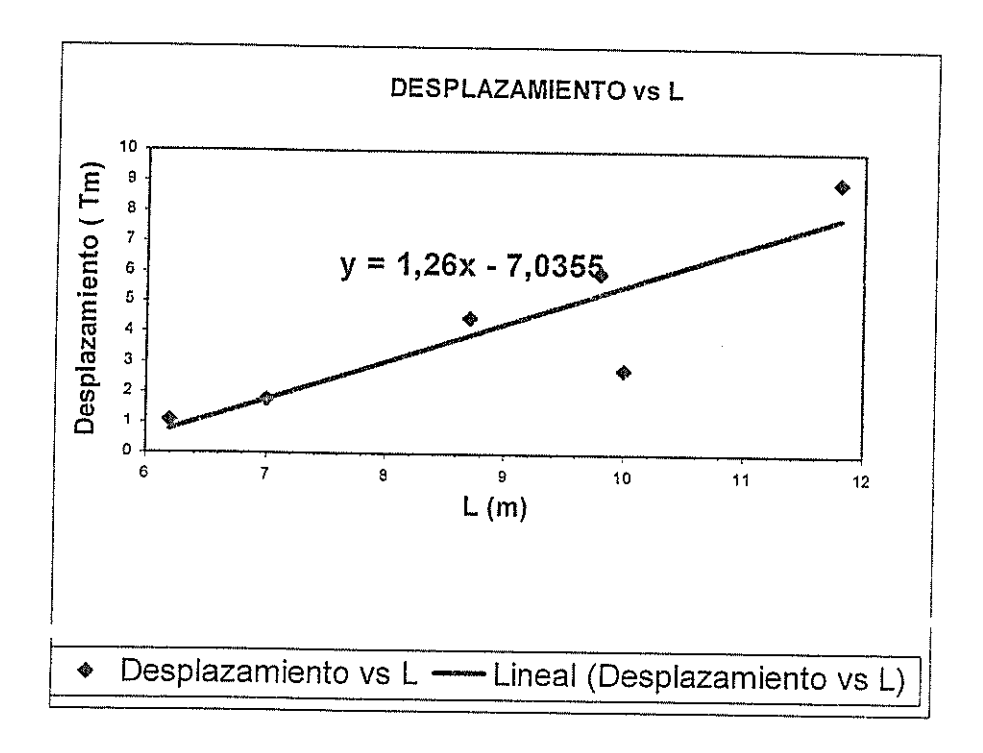


Figura 16. Desplazamiento vs. Eslora

Desplazamiento (T) =
$$1.26 (7) - 7,0355$$
 (2)

$$= 1,784 = 1,78 \text{ TM}$$

3.5.2 Manga Vs. Eslora

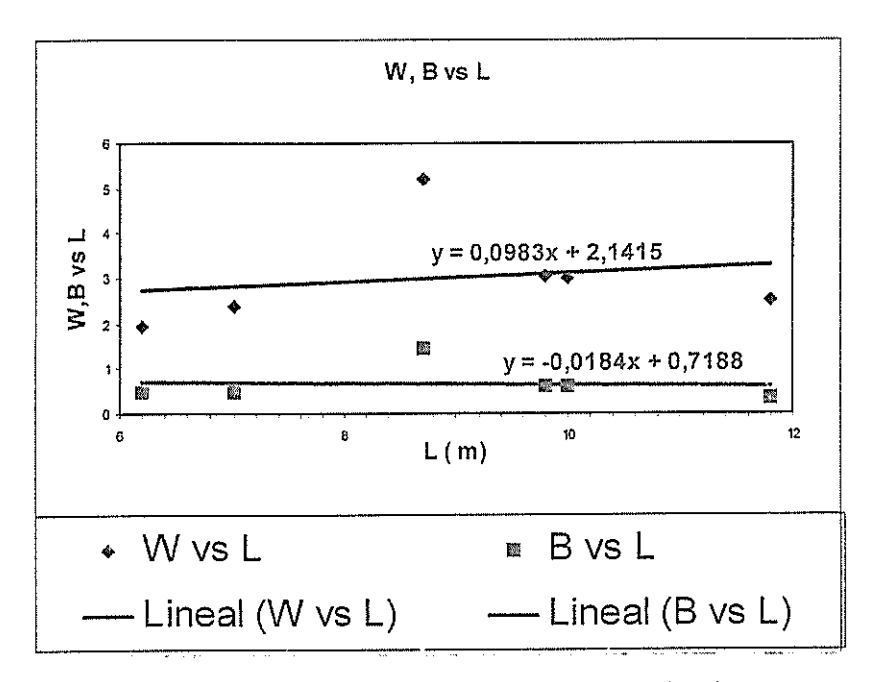


Figura 17 - Variación de la Manga y Semimangas vs. la eslora

$$y = 0.0983x + 2.1415$$
 (3)
 $W (m) = (0.0983 * 7) + 2.1415$
 $W = 2.82 m$
 $y = -0.0184x + 0.7188$ (4)

$$B(m) = (-0.0184 * 7) + 0.7188$$

= 0,59 m

3.5.3 Manga / Calado vs. Manga

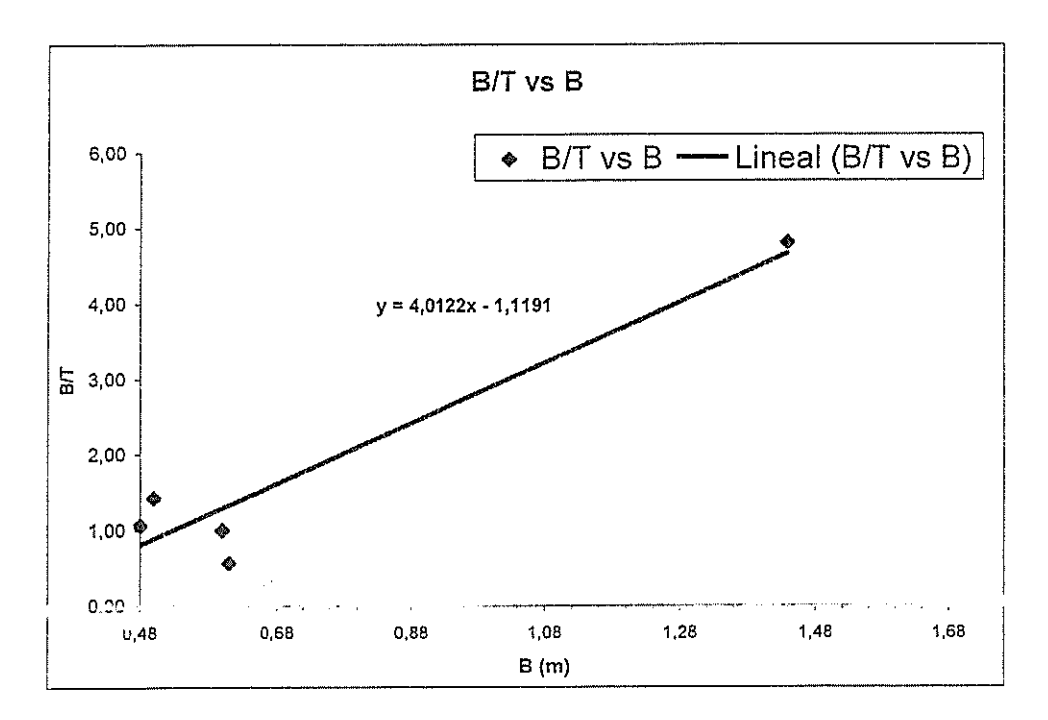


Figura 18 Variación de la relación Semimanga / Calado vs. la semimanga

$$y = 4,0122x - 1,1191 \tag{5}$$

$$B/T = 4,0122 (0,69) - 1,1191 = 1,68$$

$$T = 0.41$$

3.5.4. Coeficiente Bloque

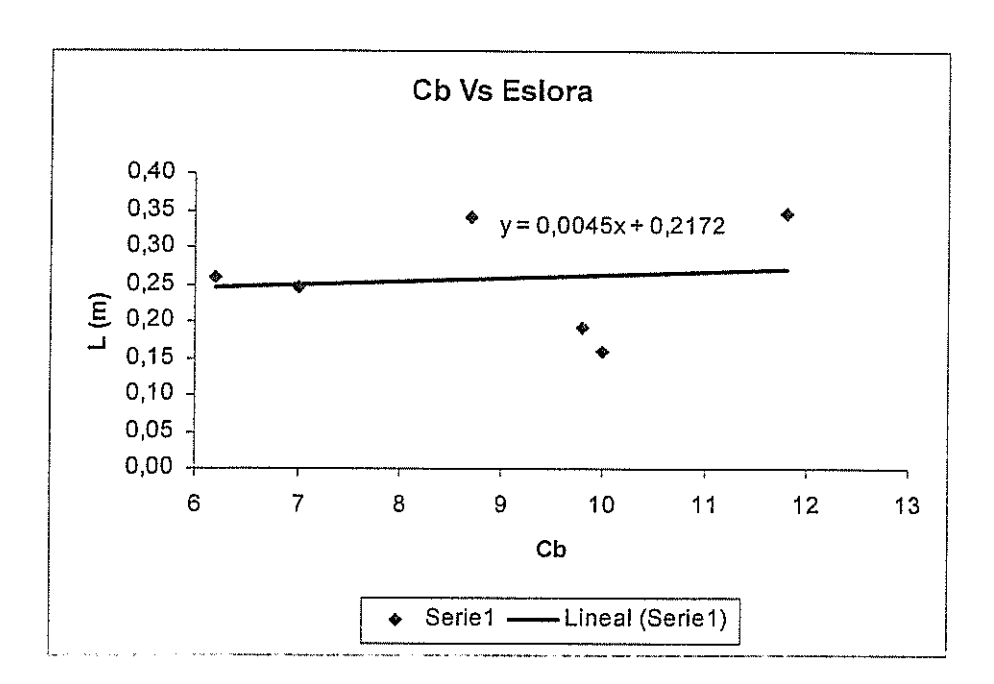


Figura 19 Variación del Coeficiente Bloque vs. la eslora

$$y = 0.0045x + 0.2172$$
 (6)
Cb = 0.0045 (7) + 0.2172 = 0.24

Una vez realizadas las regresiones lineales para cada relación, estas se interpolan con el valor de la eslora conocida para obtener el valor de las dimensiones principales, con los resultados siguientes:

DIMENSION	SIMBOLO	VALOR	
ESLORA (m)	Ļ	7	
MANGA (m)	W	2.82	
MANGA DE CADA SEMICASCO (m)	В	0.59	
PUNTAL (m)	D	0.80	
CALADO (m)	Т	0.41	
DESPLAZAMIENTO (T)	Δ	1.78	
СЬ		0.24	

Tabla XVI Dimensiones preliminares

A continuación se establece una primera distribución de la embarcación en base a las dimensiones establecidas.

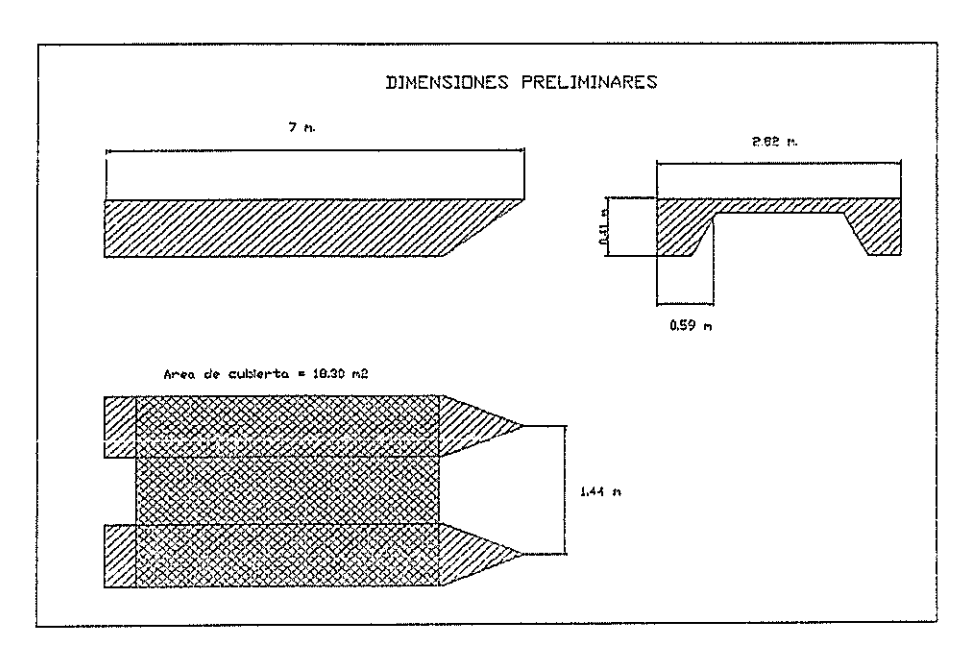


Figura 20. Cuadro de distribución preliminar

3.6 DISTRIBUCION GENERAL

Para la distribución se consideran los siguientes espacios y elementos:

- > Cascos
- > Uniones
- > Cubierta
- > Propulsión
- > Cabina
- > Canasta
- > Cinta transportadora
- > Motor eléctrico cinta

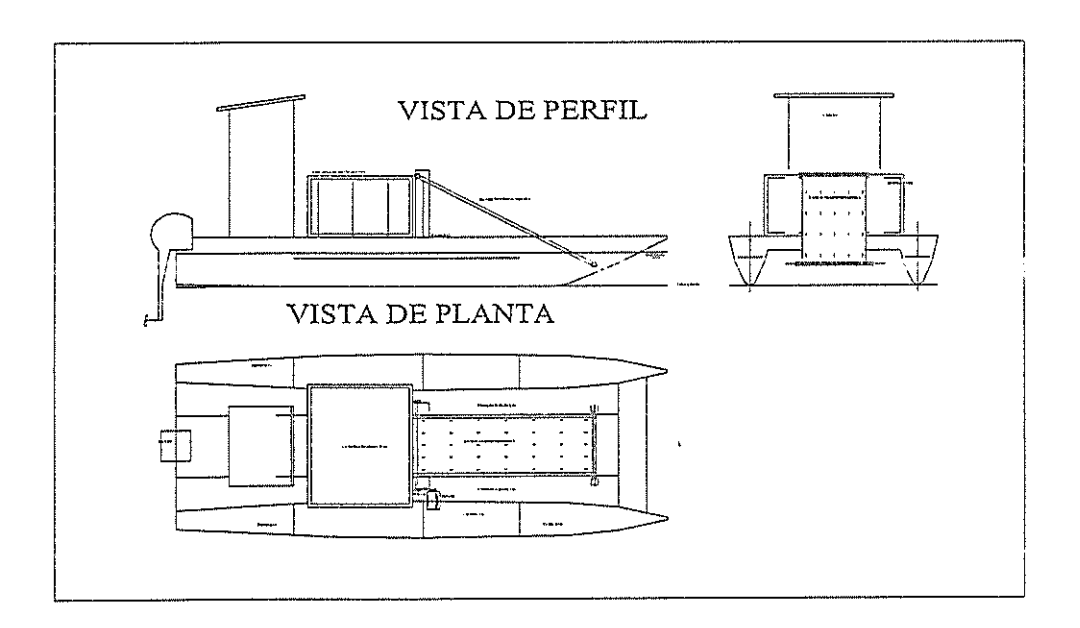


Figura 21 Distribución general

3.7. ESTIMACION DE PESOS

La figura No. 22, tomada de la referencia [6], muestra curvas de eslora vs. Razón peso del casco / número cúbico para el acero, madera y fibra de vidrio.

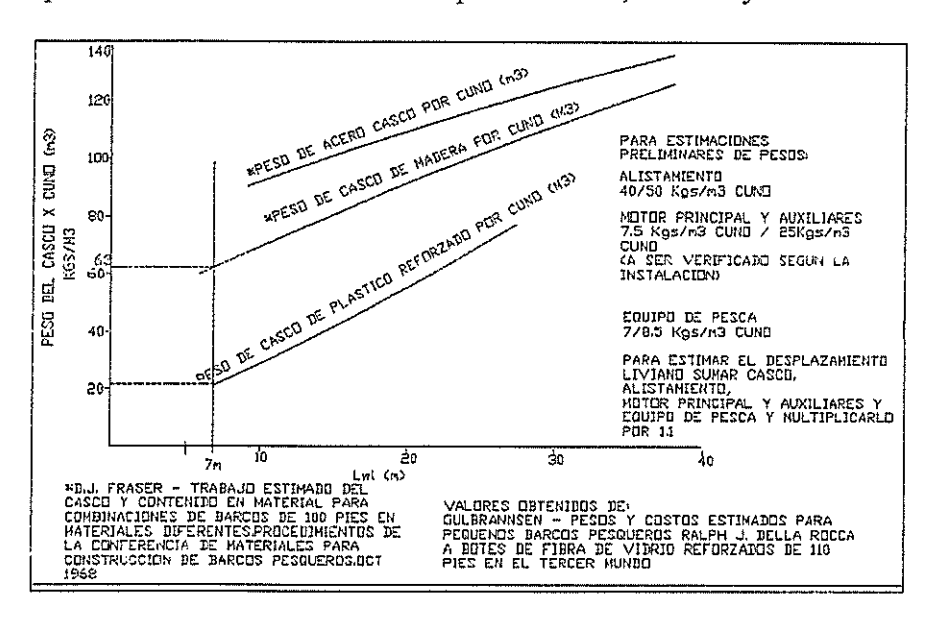


Figura 22: Figura para estimación de peso y costos en pequeñas embarcaciones de pesca

3.8 CALCULO DEL NUMERO CUBICO (CUNO)

El número Cúbico corresponde al producto de la eslora, la manga y el puntal de la embarcación.

$$L=7m, B=0.6m H=0.8m$$

$$CUNO = 3.36 \text{ m}3$$

Tratándose de los dos cascos tenemos que el CUNO será dos veces el calculado, esto es: 3.36. m3 * 2

V cascos = 6.72 m3.

Aplicando la curva de eslora vs. razón peso del casco x número cúbico para el acero, madera y fibra de vidrio (Fig.22) se tiene para cascos de madera el valor aproximado de 63 kg/m3, con lo que el peso estimado de los cascos es,

P cascos = 423.36 Kg. = 0.42 T

Para el caso de la cubierta, se instalará una cubierta elaborada basándose en rejillas de plástico reforzado, con esto no solo se aligera el peso, sino que se permitirá que el agua procedente de la basura que se recoge, pueda filtrarse directamente al Estero, aparte de que el material será más resistente tanto al agua salada como al ataque de otra sustancia liquida ácida o abrasiva (ver información en el anexo). El arreglo de las rejillas será soportado por las uniones de los cascos.

Las siguientes tablas muestran las partes de la embarcación y su peso estimado en condiciones ligera y de carga:

Condición Ligera

ELEMENTO	PESO (Ton)	X(m)	M(X)(HOR)	Y(m)	M(Y)(VERT)
CASCO	0,42	4.06	1,7052	0,3671	0,154182
BANDA TRANSPORTADORA	0,5	2,2985	1,14925	0,6313	0,31565
CANASTA RECOLECTORA	0,3	4,3897	1,31691	0,8004	0,24012
MOTOR CATAMARAN	0,05	6,9663	0,348315	0,8116	0,04058
MOTOR BANDA	0,03	3,3585	0,100755	0,8	0,024
UNION (1)	0,068128896	1,0145	0,069116765	0,7013	0,047778795
UNION (2)	0,068128896	3,5	0,238451136	0,68	0.046327649
UNION (3)	0,068128896	5,4548	0,371629502	0,6803	0,046348088
UNION (4)	0,068128896	6,8917	0,469523913	0,7366	0,050183745
GENERADOR	0,04	6,4338	0,257352	0,8	0,032
CASETA	0,1	5,7921	0,57921	1,8618	0.18618
PESO DEL CATAMARAN	1,712515584		6,605713315		1,183350277

LCG = 3,857

m

VCG = 0,691

m

Tabla XVII. Peso estimados para la condición ligera

Condición Cargada

ELEMENTO	PESO (Ton)	X(m)	M(X)(HOR)	Y(m)	M(Y)(VERT)
CASCO	0,42	4,06	1,7052	0,3671	0,154182
BANDA TRANSPORTADORA	0,5	2,2985	1,14925	0,6313	0,31565
CANASTA RECOLECTORA	0,3	4,3897	1,31691	0,8004	0,24012
MOTOR CATAMARAN	0,05	6,9663	0,348315	0,8116	0,04058
MOTOR BANDA	0,03	3,3585	0,100755	0,8	0,024
UNION (1)	0,068128896	1,0145	0,069116765	0,7013	0,047778795
UNION (2)	0,068128896	3,5	0,238451136	0,68	0,046327649
UNION (3)	0,068128896	5,4548	0,371629502	0,6803	0,046348088
UNION (4)	0,068128896	6,8917	0,469523913	0,7366	0,050183745
GENERADOR	0,04	6,4338	0,257352	0,8	0,032
CASETA	0,1	5,7921	0,57921	1,8618	0,18618
BASURA	0,6	4,3897	2,63382	0,8004	0,48024
PESO DEL CATAMARAN	2,312515584		9,239533315		1,663590277

LCG = 3,995

m

VCG = 0,719

m

Tabla XVIII Peso estimados para la condición cargada

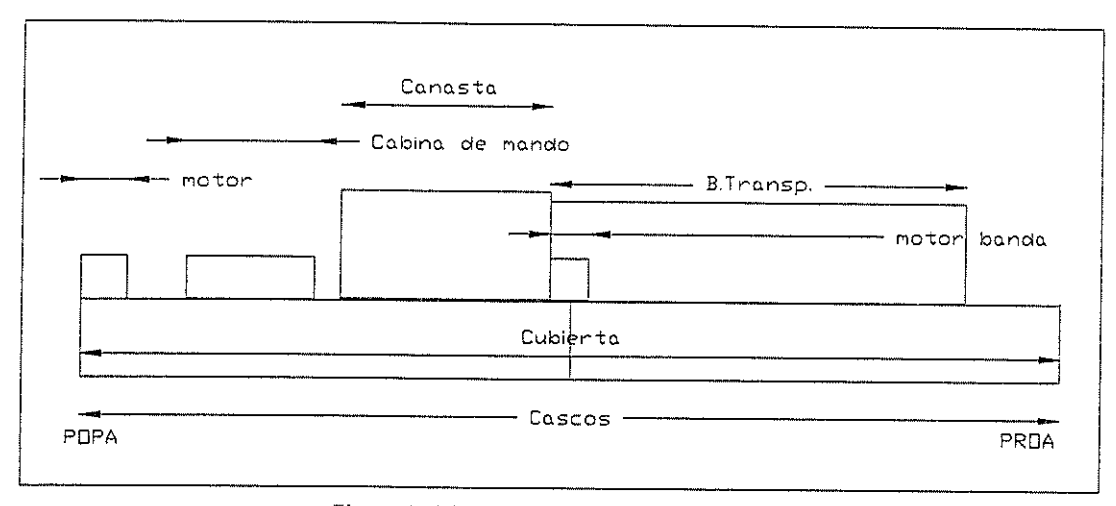


Figura 23 Diagrama de distribución de pesos

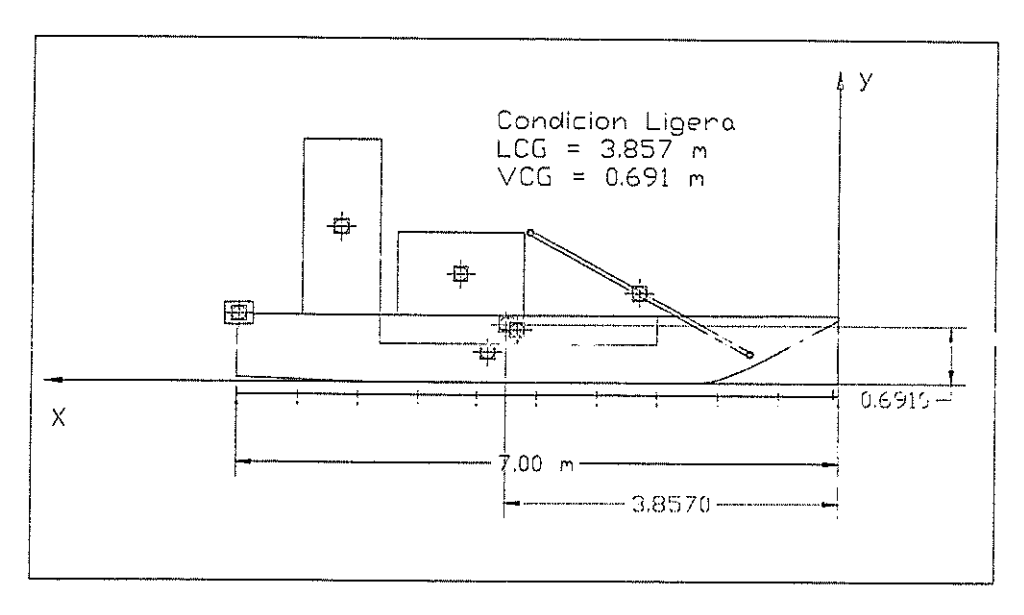


Figura 24. Localización del centro de gravedad - Ligero

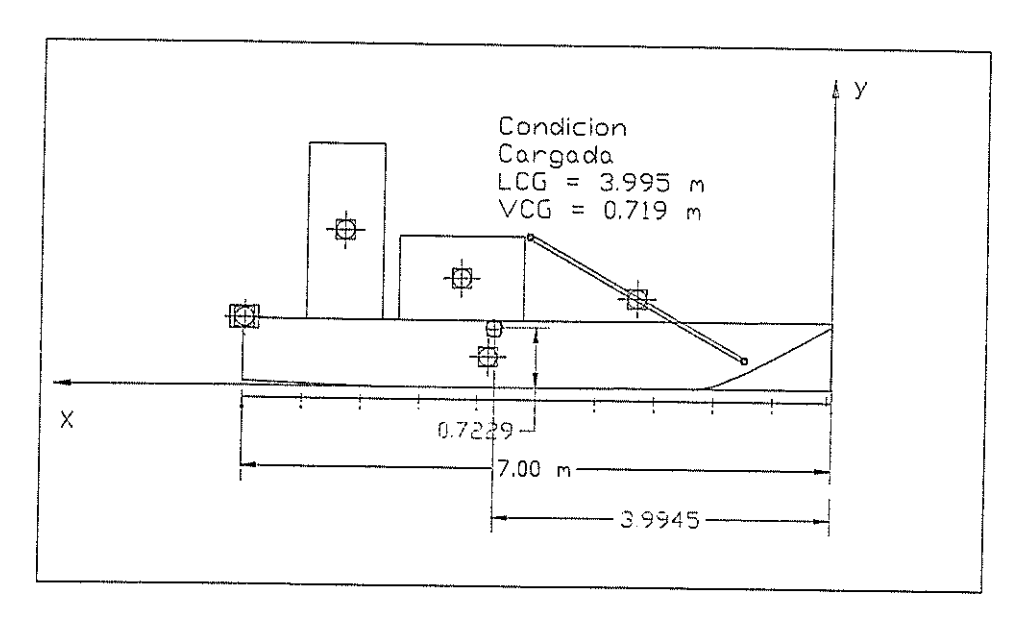


Figura 25 Localización del centro de gravedad - Cargada

El análisis regresional realizado para el desplazamiento de la embarcación dio como resultado un peso de 1 78 toneladas, mientras que el cálculo detailado de pesos estimados mostró 1,71 ton.

En cuanto al Centro de Gravedad, es importante notar que es la banda transportadora la que agrega más peso que las otras partes de la embarcación a excepción del casco.

El centro de gravedad esta localizado verticalmente en una posición comprometida en la condición cargada, no así en la condición ligera.

3.9 SISTEMA PROPULSOR

La característica fundamental de la resistencia al avance de los catamaranes es la interferencia entre flujos que rodea a cada uno de los cascos. Esta interferencia es de dos clases, la que se debe al sistema de olas que genera cada uno de los cascos y la que aparece por efecto de los dos cascos en conjunto.

Por estas circunstancias el diseño las formas de un monocasco debe poseer una razón de aspecto de L/B (Eslora – Manga) de tal manera que la superficie mojada del catamarán no sea mayor que el de un barco monocasco, sin dejar de considerar el desplazamiento que debe cumplir.

La elección de la separación entre los dos cascos debe tenerse en cuenta, especialmente por los criterios hidrodinámicos de interferencia. Una mala elección puede hacer navegar al catamarán en un máximo de la resistencia por formación de olas. Por tanto, cuando las velocidades corresponden a números de Froude comprendidos entre 0.23 y 0.4 la interferencia de los sistemas de olas generados por los cascos juega un papel muy importante.

3.10 CALCULO DE LA RESISTENCIA

Para conocer la resistencia de un catamarán en la etapa inicial una opción es calcular la resistencia de un casco y aplicar luego un factor de interferencia de los deducidos experimentalmente.

Nuestro diseño corresponde a números de Froude entre 0.16 y 0.27 para velocidades de 3 nudos y 5 nudos respectivamente. Los cálculos de resistencia al avance mostrados en el Anexo F, se considera los coeficientes: friccional, residual y por rugosidad, y el coeficiente de interferencia por la presencia de un casco en movimiento con respecto a otro. Se muestra la curva de potencia vs. Velocidad. A partir de ella se determina la velocidad de servicio y su potencia respectiva. Se elige un motor fuera de borda con pata larga.

El valor de potencia del motor de propulsión que se adapta a nuestras necesidades viene dado por la tabla XIX, se toma el valor mas alto de potencia al eje

SHP = 8.66 HP

Los cálculos están detallados en el Anexo H.

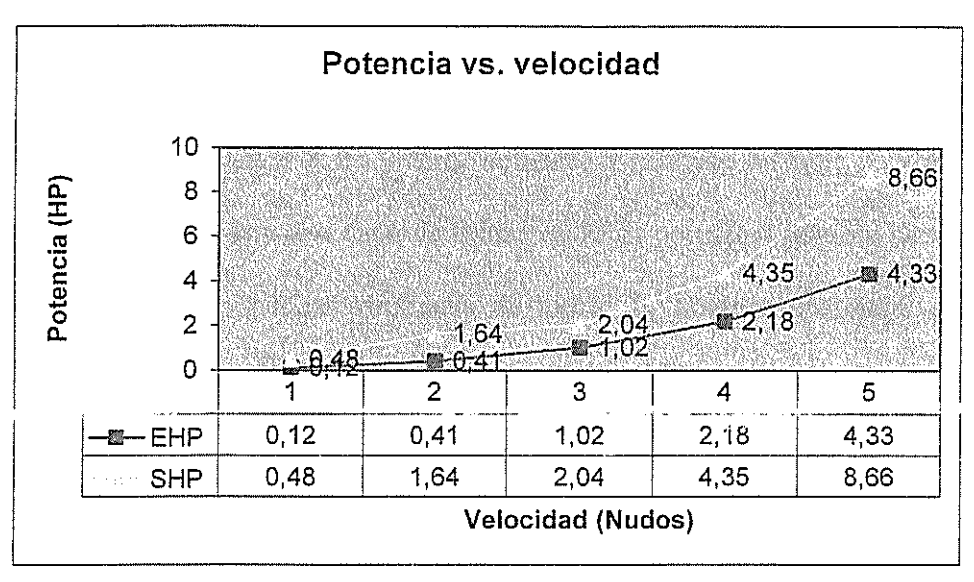


Tabla XIX.- Calculo de la Potencia

CAPITULO 4

DISEÑO PRELIMINAR DE LA EMBARCACION

4.1 DISEÑO ESTRUCTURAL DEL RECOLECTOR

De acuerdo a la selección del material realizada en el capitulo 3 se utilizara madera reforzada con fibra de vidrio. Esto es madera para la parte estructural, plywood marino para el forro y como refuerzo y acabado en fibra de vidrio no saturada reforzada con una capa de fieltro de hilos cortados, nombre comercial matt, y tejidos de mechas continuas de vidrio E, nombre comercial woven roving, con una relación vidrio / resina 45/55. Para este calculo se siguieron las reglas y Embarcaciones para la clasificación de naves construidas en fibra de vidrio de la sociedad clasificadores Bureau Veritas [8].

Para los refuerzos y el forro se han aplicado las reglas sugeridas por el estudio de la FAO para Dembarcaciones de pesca en madera.(FAO, 1977)

El arreglo estructural es de tipo transversal con cuadernas espaciadas cada 0.7 m. Los arreglos estructurales se muestran en la figura 27.

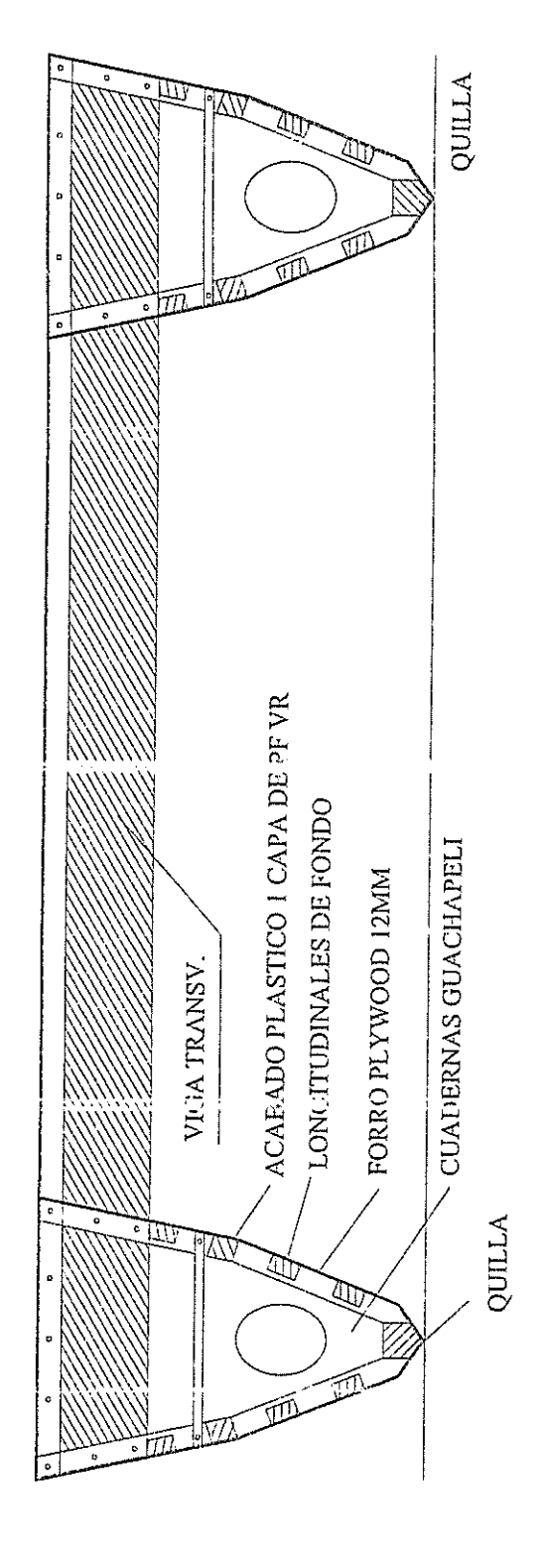


Figura 26. Esquema de la Sección Media

4.2. CÁLCULOS DE SECCIÓN MEDIA

Inercia	propia(cm4) 135,49	55,50	27,75	27,75	27,75		10975,05	3251.87	14501,15					
									Σ4 ==					
Area*Dist2	(cm4) 1.008	46.241	3.470	11.321	46.452		32.925	74 240	215.656		qn		puc	cm^3
									Σ3 =		I (Eje Neutro)/ z cub	4843,2 cm^3	l (Eje Neutro)/ z fond	7086,4 cm^3
	Momento (cm3) 202	1.092	212	382	774		757	928	4.347	Modulo Seccional (cubierta)	MS =	MS =	Modulo Seccional (fondo) MS =	₩S
Distancie	(cm) 5	42,33	16,4	29,62	09		43,5	80	22=					
	Área(cm2) 40,32	25,81	12,90	12,90	12,90		17,40	11,60	133,8385					
ancho	ст 6,35	5,08	2,54	2,54	2,54		0,2	0,2	Σ !=	E		cm^4	cm^4	CB
alto	cm 6,35	5,08	5,08	5,08	5,08		87	58		Σ2/Σ1 32,4786566	24 +23	230.157,53 I - Ad ² 2	88976,234 80	47,5213434
	Escantillón 2 1/2" X 21/2"	2 X 2	2" X 1"	2" X 1"	2" X 1"		0.87 m x 2 mm	0.58 m x 2 mm		Centroide = Centroide = Inercia (linea Base)	<u>11</u>	= = ortheren	l eje-neutro = Puntal =	z cubierta =
	Item Quilla Refrerzo	china	Fondo 1 Refuerzo	Fondo 2	Costado	madera	(resina)	Fibra						

Determinación de Esfuerzos

MF / MS

El Momento Flector máximo será =

2,312515584

Ton -cm MF =

Kg -cm 404,6902272 404690,2272 MF

Por lo que los esfuerzos máximos en la cubierta serán iguales a

G trabajo = 83,5577 kg / cm^2 El esfuerzo máximo (rotura) de la FB con tela y WR es

El esfuerzo máximo (rotura) de la madera Fernán Sánchez [7] es

2200

G máx

Kg/ cm²2

G máx = 250 kg/ cm²2 Por lo que podemos concluir que existe un factor de seguridad aceptable G máx =

PLASTICO REFORZADO CUBIERTA REFUERZO

80 80 80 640 280 280 80 S1= 4"x 4"x 4" mm 4"x 4"x 4" mm 4" x 4"mm (Rampa-Casco) (Unión-Casco) REFUERZO REFUERZO

Tabla XX.- Calculo del modulo seccional de la embarcación y esfuerzos máximos

4096000

S3=

51200

S2=

6400

512000

1792000

22400

1792000

22400

4.3 ESTRUCTURA TRANSVERSAL DE CONECCION

A efectos de simplificar el cálculo del máximo momento flector actuante hemos asumido una condición extremadamente rigurosa para la sección embarcación que no se verifica en la realidad, la cual es suponerla como viga simplemente apoyada en los extremos de la eslora con todo el desplazamiento concentrado en la sección media (condición de arrufo)

Los cálculos han sido realizados en la Tabla XXI y se complementan con el cálculo del peso de las uniones en la Tabla XXII, las cuales han sido escantillo nadas en madera Fernán Sánchez. [7]

LARGO 300 cm ANCHO 10,16 cm.

ESPESOR 10,16 cm.

VOLUMEN 30967,68 cm³

PESO

ESPECIFICO = 0.647 Ton/m^3

PESO = 0,0200 Ton

Peso Total = 0,0801 Ton

Tabla XXII, Calculo del peso de las uniones transversales

4.4	PLANOS	DE	LINEAS	FORMAS,	ESTRUCTURALES	Y	ARREGLÚ
GE	NERAL						

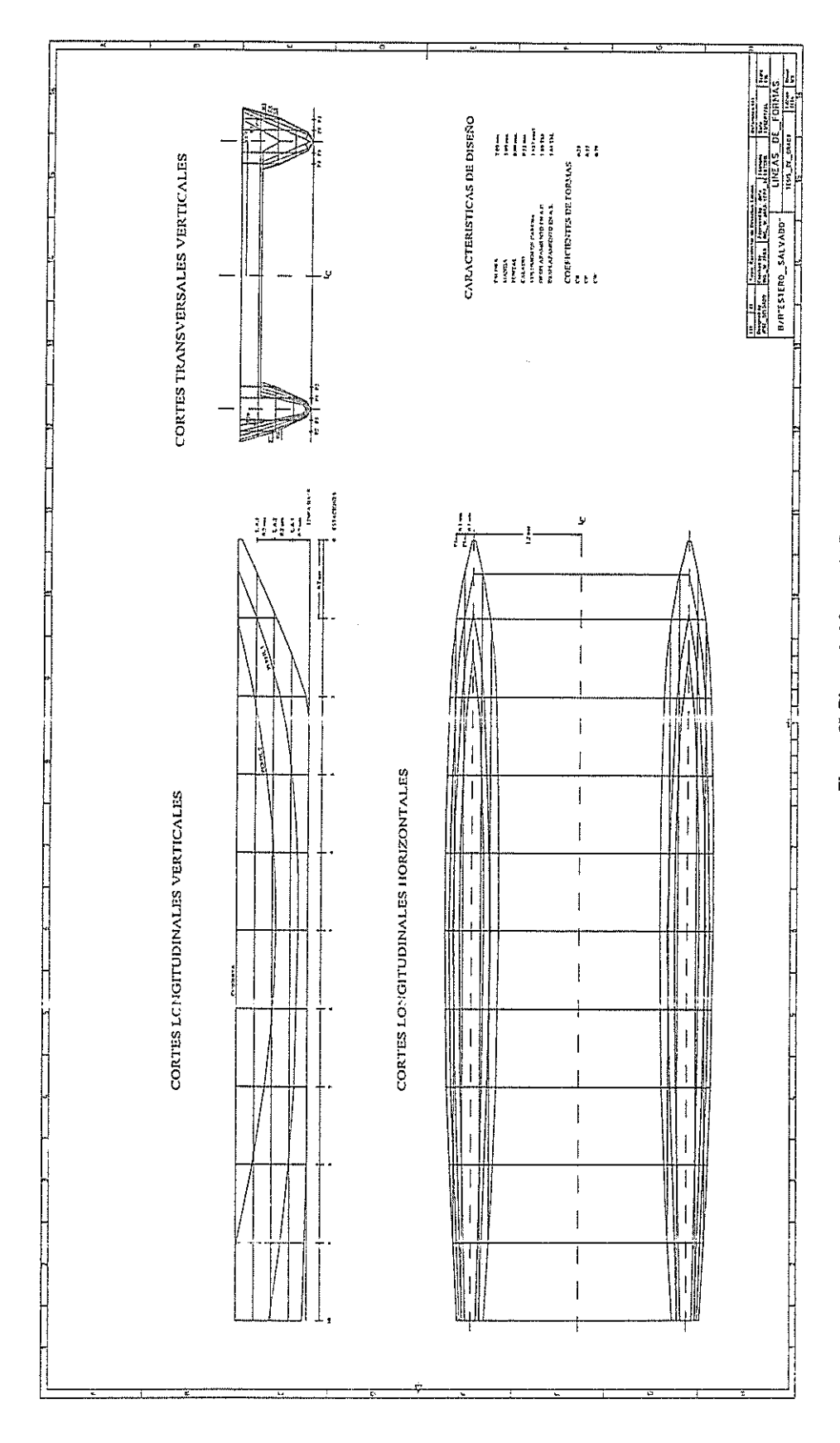


Figura 27 Plano de Líneas de Forma

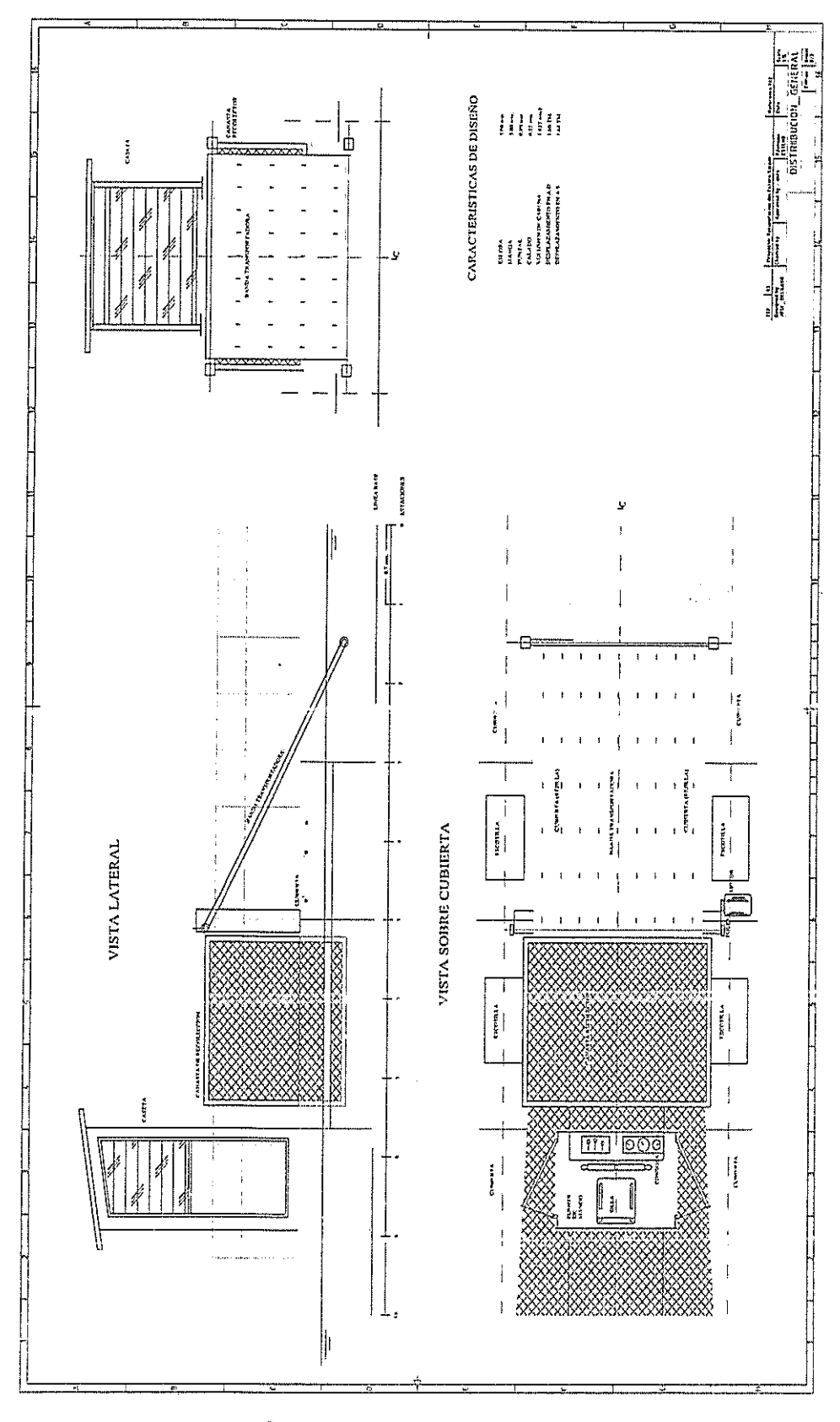


Figura 28 Arreglo general

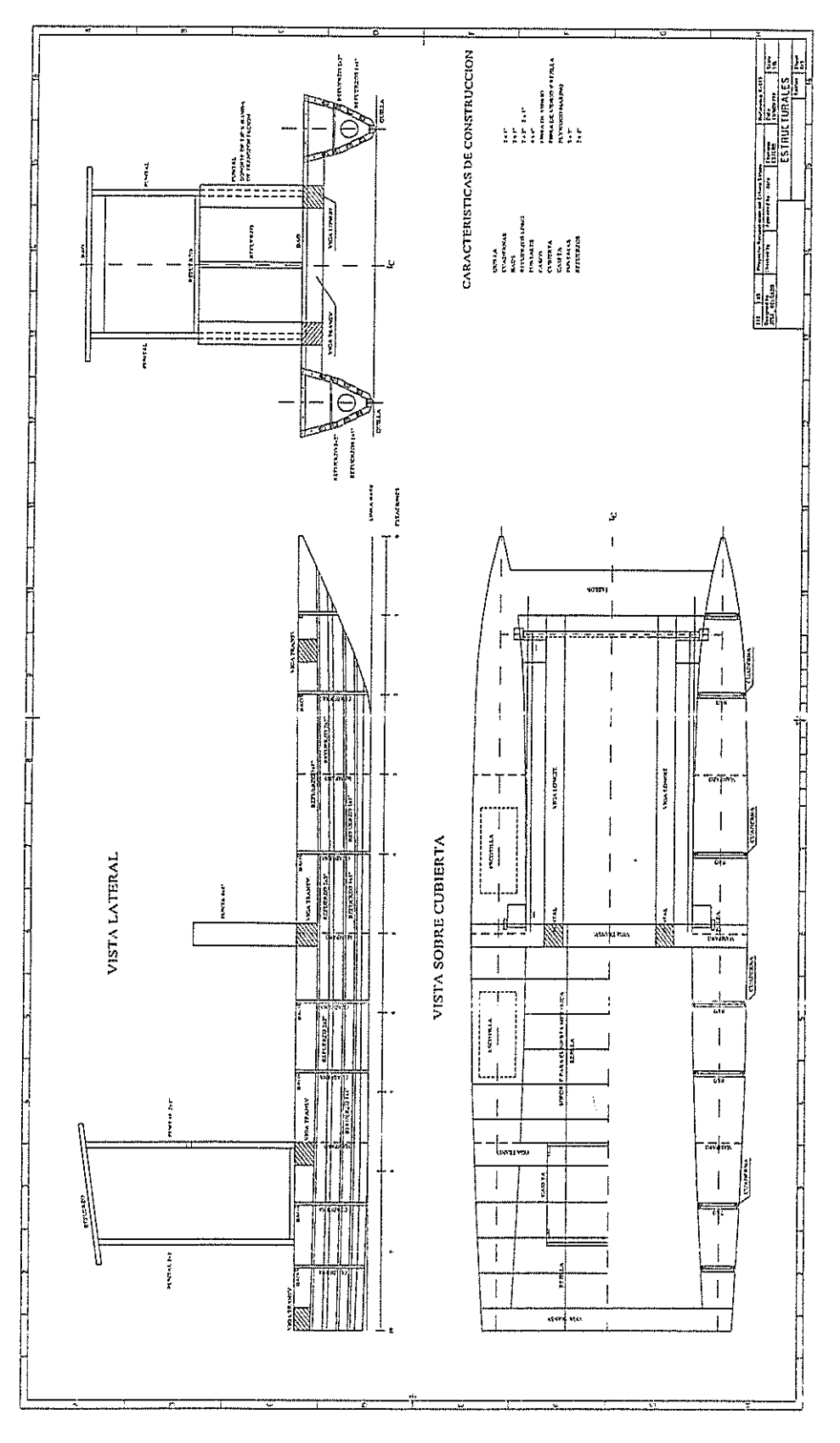


Figura 29 Plano de Estructurales

En las siguiente dos figuras, puede apreciarse el acople entre los cascos y el sistema de banda recolectora.

El sistema de recolección consiste en la Banda, su motor y la canastilla de recolección

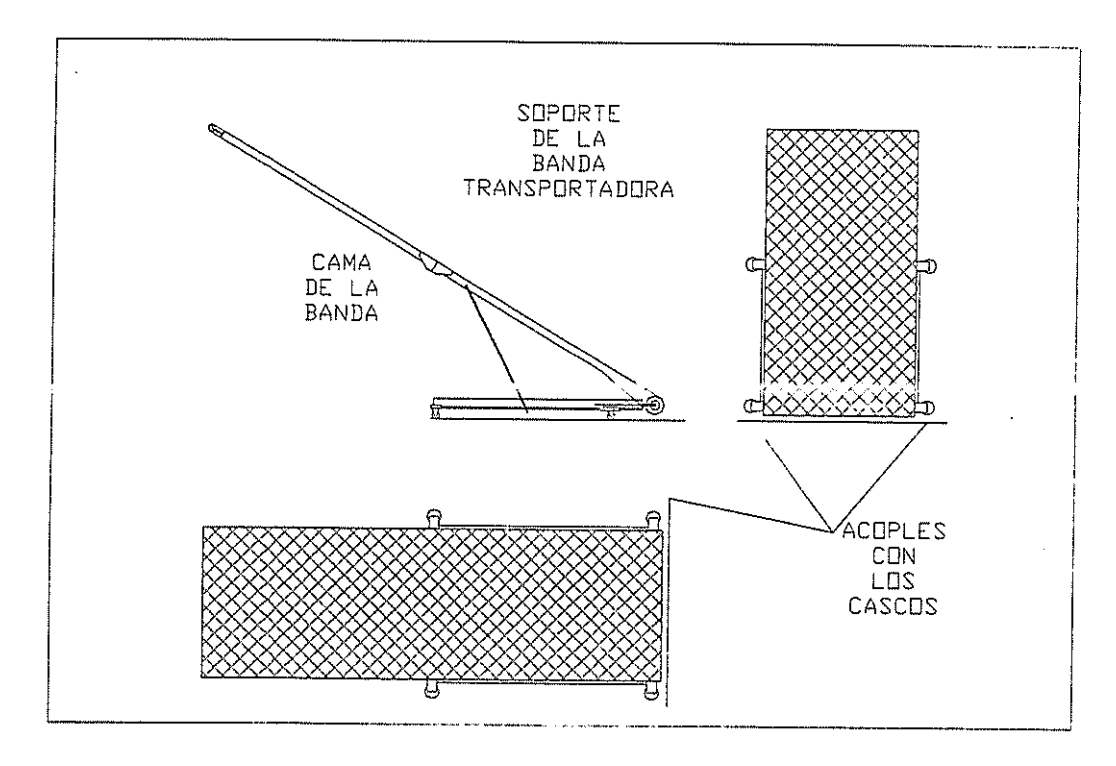


Figura 31. Sistema de la banda recolectora, soporte, cama y acoples con los cascos

ø

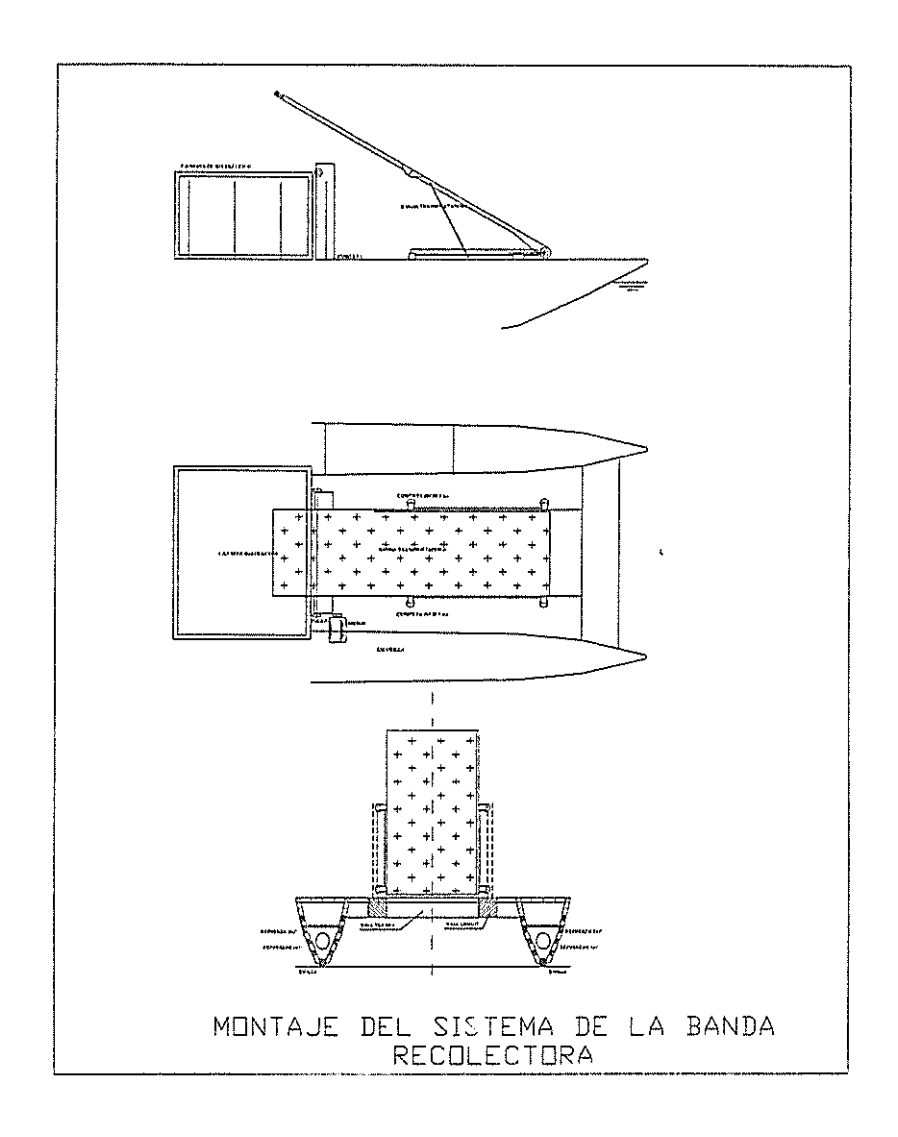


Figura 32 Montaje del sistema de recolección con los cascos

4.6. FLOTABILIDAD

En la sección 3.8 del Cáp. 3 pudimos calcular la posición del Centro de Gravedad Longitudinal y Vertical para las dos condiciones del recolector, esto es para condición ligera y en carga, situación que nos muestra la flotabilidad del catamarán.

Intentando comparar estos valores con los de un catamarán de las mismas dimensiones, pudimos correr un modulo del programa PROLINES¹⁰.

Una de las tablas muestra los resultados de flotabilidad para el catamarán a un desplazamiento de 1800 Kg., esto es en condición ligera. Podemos resaltar por ejemplo la potencia calculada y que equivale a 4.8 HP, el amplio radio metacéntrico 24.38 metros o el coeficiente de Bloque que es de 0.151.

¹⁰ Programa de Vacanti Limited, USA

Displacement—— Saltwater	1800.644 Kgs	Length / Width / Hei	5.962 Meters
Fresh Water	1749.866 Kgs	Length Over All	
		Waterline Beam	3.295 Meters
Coefficients		Deck Beam	3.399 Meters
Prismatic Cp	0.855	Max Freeboard	0.217 Meters
Block Ch	0.151	Fairbody Draft	0.591 Meters
Waterplane Cw	0.962	*	
Mom To Trim 1cm	73.644 Kg-m	Areas	
KG/Cm Immer	194.064	Waterplane	18.890 SqMt
		Lateral Plane	2.075 SqMt
Ratios		Wetted Hull Area	26.746 SqMt
Disp'ment/Length	236.824	Total Hull Surface	51.887 SqMt
Length/Beam	1.809),	
Length/Draft	10.088	Required Power	
Beam/Draft	5.575	Brake Horse Pwr	4.812 BHP
Centers		Centers of Action	
VCG of Hull	0.012 M Above I Wi	Long. Ctr of Float.	3,926 M aft "0"
LCG of Hull	3.788 M Aft "0"	Vertical CLP	0.384 M Below LWL
LCB	4.191 M Aft "0"	Longitudinal CLP	4.258 M aft "0"
VCB	0.166 M Below Lwl		The order
Fransverse Metace	ntare Fetimata	mi ovajtudinal Mataaa	ndana Fadinasa
ant	8.352 Meters	–Longitudinal Metace Gml	
3mt 3mt	8.530 Meters	Bml	24.384M
J1144	0.000 Welet2	DIIII	24.563M

Tabla XXIII.- Programa Prolines Calculo del catamarán en carga ligera

Con una aumento del 10 % de desplazamiento tenemos los siguientes resultados:

Saltwater	2000.994 Kgs	Length / Width / Hei	5.854 Meters
Fresh Water	1944.566 Kgs	Length Over All	
		Waterline Beam	3.295 Meters
-Coefficients		Deck Beam	3.398 Meters
Prismatic Cp	0.867	Max Freeboard	0.205 Meters
Block Ch	0.168	Fairbody Draft	0.603 Meters
Waterplane Cw	0.978		01000 MC(013
Mom To Trim 1cm		-Are as	and the state of t
KG/Cm Immer	193.762	Waterplane	18.861 SqMt
	/	Lateral Plane	1.128 SgMt
-Ratios		Wetted Hull Area	26.967 SqMt
Disp'ment/Length	278.044	Total Hull Surface	51.725 SqMt
Length/Beam	1.777		
Length/Draft	9.705	-Required Power	
Beam/Draft	5,462	Brake Horse Pwr	5.347 BHP
			·
Centers		Centers of Action—	
VCG of Hull	0.001 M Above LWL	Long. Ctr of Float.	3.931 M aft "0"
LCG of Hull	3.795 M Aft "0"	Vertical CLP	0.487 M Below LWL
LCB	4.202 M Aft "0"	Longitudinal CLP	4.504 M aft "0"
VCB	0.159 M Below Lwl	Tourse are not additionally to the same and the same and additional distributions of the best from	
Transverse Metace	store Ectivate	_l anniendinal Massa	
Gmt	7.484 Meters	Longitudinal Metace	
Bmt	7.644 Meters	1	21.068M
Dill	1.044 Mefels	Bml	21.228M
	Deine	[maintenant/Afficience.]	

Tabla XXIV.- Programa Prolines Calculo del catamarán en carga ligera + 10 % del desplazamiento

4.7 COSTO DE MATERIALES

Con la finalidad de tener un presupuesto base para el rubro materiales en la construcción del catamarán, hemos enlistado y dado valores a nivel de comercios locales a diferentes ítem necesarios para la construcción de la embarcación.

LISTADO DE EQUIPOS Y COSTOS

Item	Canti	idad	Unitario US\$	Total US\$
<u>SISTEMA</u> <u>PROPULSOR</u>				
Motor MERCURY Fuera de borda 25 HP Diesel, Pata larga (0.64m)	1		\$2,000.00	\$2.000
Tanque de 10 Gls para Diesel Sub Total Sist. Propulsor BANDA TRANSPORTADORA	1		\$150	\$150 \$2.150
TRANSPORTADORA Banda Completa + Accesorios Total Banda Transportadora	1	Bajo pedido	\$5.000	\$5.000 \$5.000
MANDO&CONTROL				
Sistema de Gobierno UQUIPOS DE COMUNICACION	1	Bajo detalle	\$300	\$300
Radio Walkie Tolkie			\$200	\$200
Bocina	1	6 V	\$60.00	\$30
Bateria	1	Bateria	\$60.00	\$60
Sub Total Sist. Propulsor AREA DE CASETA				\$590
Asiento	1		\$20.00	\$40
Ventilador	1	De pared	\$30.00	\$50
Sub Total Sist. Caseta ACCESORIOS DE CUBERTA				\$90
Chalecos Salvavidas	2	Claeif. SOLAS	\$40	\$80
Ancla	- 1	202/10	\$100.00	\$100
Bitas	4		\$30	\$120

TOTALES				\$8.710
Tota Accesorios Cubierta				\$580
Ayudas à là navegación electricas	4	Luces 110	\$20	\$80
Extintor CO2	1		\$200	\$200

Tabla XXV._ Tabla de costos aproximados de Equipos

LISTADO DE MATERIALES

Item	Cant	Descrip.	Precio Unit.	Precio Total
			US\$	US\$
CASCOS				
Cuadernas	12	1" x 23" x 1"	5	\$60
Esloras	2	6m x 2" x 2"	10	\$20
Longitudinales	4	6m x 2" x 2"	10	\$40
Quillas	2	6m x 3.5" x 2"	14	\$28
Refuerzos	12	6m x 2" x 1"	5	\$60
Total Cascos				\$208
FORRO				
Fibra de Vidrio (Maylo, Resina y				
lana de vidrio)	40	1 m^2 x 0.5"	30	\$1,200
Cubierta cascos	10	2 m^2 x 0.5"	30	\$300
TOTAL CASCO Estructural +				
Forro)				\$1.70 8
CUBIERTA				
Longitudinales	21	1m x 1" x 1"	4	\$84
Transversales	12	2m x 1" x 1"	4	\$48
Union entre cascos	5	3m x 4" x 4"	30	\$150
Rejilla Plastico Reforzado	14	1m^2 x 1"	10	\$140
Borde cubierta General	18	1m^2 x 2" x2"	5	\$90
Barandales	35	1.2 m x 1" (diam)	5	\$175
TOTAL CUBIERTA				
GENERAL	ĺ			\$687
BANDA				
TRANSPORTADORA				
Estructura Aluminio	1	1m x 3.5m x 1m	500	\$500

Acoples Casco	4	Bajo detalle	60	\$240
Total Banda				\$0
SISTEMA DE GOBIERNO				
Poleas	2	4" diametro aluminio	15	\$30
Cuerda de acero	15	m x 4 mm	2	\$30
Total Sistema de gobierno			-	\$60
AREA DE CASETA				\$0
Paredes + techo +Puerta	5	Planchas Plywood reforzado con FdeV	70	\$350
Vidrios	2	50 x 50 x 4 mm (costados)	20	\$40
Vidrios	2	70 cm x 70 cm x 4mm (adelante, atras)	20	\$40
Total Area de Caseta				\$430
<u>PINTURA</u>				\$0
Antiincrustante	3	Galon	30	\$90
Gris	3	Galon	30	\$90
Azul	3	Galon	30	\$90
Rojo	3	Galon	30	\$90
Total Pintura	<u> </u>			\$360
Total				\$3.245

Tabla XXVI.- Listado de Materiales

CONCLUSIONES

A partir de los estudios realizados por el Municipio de Guayaquil se desprende la necesidad inmediata de realizar la limpieza del Estero Salado, el proyecto PIRES (Plan Integral de Recuperación del estero Salado) establece 3 zonas altamente afectadas por la por la contaminación y como ejemplo de ello la presencia de desechos flotantes.

El estudio establece una producción diaria de 630 kilogramos de desechos sólidos que son arrojados por día al estero.

Con esta cifra comenzamos el diseño de la embarcación recolectora de desechos sólidos flotantes, eligiendo como mecanismo de operación el uso de una cinta transportadora.

De la investigación bibliográfica se desprende que la historia de la ciudad ubica al Estero Salado como el vertedero de desechos por naturaleza. Situación que con el paso de los años no había cambiado. Sin embargo la conciencia ambiental de ciudadanos y autoridades, e incluso el nuevo derrotero urbanoturístico de Guayaquil han ubicado al Estero Salado como centro de atención y protagonista de la "regeneración" de la ciudad.

La embarcación que hemos diseñado permitirá el mantenimiento en estado limpio de los ramales del Estero Salado. Se trata de una embarcación ligera además de cumplir con su misión será una nave atractiva por sus formas.

Una gran ventaja en este diseño ha sido la posibilidad de probar el sistema de recolección por banda a través de un modelo el cual mostró excelentes resultados

La posible construcción del recolector demandara de forma paralela la construcción de uno o varios muelles de acopio de basura equipados de una pluma para la izada de la canasta o de las fundas de basura que se hayan recolectado.

Un rápido vistazo al costo de materiales muestra que la embarcación es posible de construirse a un costo relativamente, comparado con el servicio a prestar.

En la matriz de decisiones para escoger el sistema se había incluido un precio estimativo de 50 mil dólares para la embarcación, dejando ver que lógicamente contempla costo de mano de obra, parrilla, permisos e incluso la pluma de muelle

RECOMENDACIONES

Se recomienda realizar en estudios posteriores :

Actualizar la información sobre la contaminación del Estero considerando que ya esta en servicio una embarcación construida por el municipio de Guayaquil para la limpieza de desechos sólidos. Evaluar su rendimiento.

La existencia en el estero Salado de otro catamarán se justificaría dada la necesidad de dar mantenimiento a los ramales que no están considerados en el plan PIRES y de que los costos de operación podrían ser apreciablemente mas bajos que los del catamarán existente.

Se recomienda analizar la operatividad del catamarán con un sistema de propulsión eléctrico y la instalación de un techo con paneles solares para que su operación sea limpia y autopropulsada. Mostrando que es posible construir hacer una embarcación ecológica que además tiene fines ecológicos.

BIBLIOGRAFÍA

- EL PUERTO DE GUAYAQUIL, TOMO III, PUERTO NUEVO,
 Estrada Ycaza Julio, Instituto de Historia Marítima, Guayaquil, 1994
- ACCEDE, Comisión Nacional de Evaluación y Acreditación
 Universitaria, Min. de Educación, Argentina, Ingeniería en Minas,
 Calculo de Bandas Inclinadas. Reexaminación Agosto 2002.
- 3. CLEMENT, P., 'Resistance Tests of a Systematic Series of Planing Hull Forms', SNAME, 1963.
- 4. SNAME, 'Ship design and construction'. SNAME, 1980.
- 5. INOCAR, Tabla de Mareas, 2003.
- 6. FRASER, Estimates hull work and material conten for 100 ft fishing vessel, 1968
- 7. VELARDE, M, "Pruebas de resistencia y durabilidad de maderas nacionales y recomendaciones para su uso en construcción de embarcaciones menores". Tesis de Grado, Ingeniero y Arquitecto Naval, ESPOL, 1974.
- 8. BUREAU VERITAS, Reglas y regulaciones para la clasificación de naves construidas en fibra de vidrio. BV, 1996
- 9. LAHMEYER CIMENTACIONES, Estudio PIRES, 1998
- 10. RAY ELECTRIC MOTORS, 2000

ANEXO A

PRINCIPALES RESULTADOS DE LOS ESTUDIOS SOBRE EL ESTERO SALADO

1 - ESTUDIO DE LA CONSULTORA LAHMEYER CIMENTACIONES

De acuerdo a los resultados del estudio, 65% de la contaminación es derivada de las descargas domesticas y 35% se atribuye a las descargas industriales.

Otra fuente contaminante es el vertido de los desechos sólidos en las márgenes y en el mismo cauce del Ester. De acuerdo a los resultados obtenidos del muestreo se tiene que el total de basura (biodegradables, plásticos, maderas y otros) llega a 18.785 kg/mes. esto es cerca de 19 toneladas considerando los dos márgenes



Descripción del proceso de contaminación por vertido de desechos. Fuente EL UNIVERSO

Los asentamientos informales ubicados en las riberas y sobre el agua en diversos sectores del Estero Salado, han contribuido a su contaminación debido a la descarga directa de aguas servidas y de basura.

Un aspecto importante que debe tenerse en cuenta tanto para las condiciones del Estero como de la población ribereña es la inestabilidad de los taludes (orillas), que tienden a erosionarse a causa del oleaje causado por las embarcaciones efecto de las corrientes de las mareas mas altas.

2.- ESTUDIO DE LA CONSULTORA ESPEY HUSTON - COPADE

La Asociación Espey—Huston & As. Realizó un proyecto de Prevención y Control de la Contaminación Industrial y Otras Fuentes para el M.I. Municipio de Guayaquil (octubre 1996-noviembre 1997).

Este estudio permitió establecer en 504 el numero de industrias del con Guayaquil. Los principales resultados se encuentran detallados

Principales Resultados:

El Sector Industrial en Guayaquil tiene 504 industrias activas en el Cantón Guayaquil.

Localizadas en 7 zonas 6 sectores:

- Zona ribereña del río Guayas.
- Estero Cobina
- Sector de la Av. Juan Tanca Marengo
- Mapasingue Prosperina.
- Inmaconsa, Via a Daule.
- Pascuales, Via a Daule
- Via a la Costa.

Recurso Agua

Los parámetros de calidad de agua evaluados son:

Materia orgánica (DB05).

Sólidos suspendidos (SS).

Aceites y grasas.

Elementos Tóxicos.

Los demás parámetros como pH, Temperatura, sólidos totales, sólidos disueltos, nutrientes, etc.) no son críticos en la primera etapa del control. Sin

embargo, en casos particulares, el pH y la temperatura son considerados importantes para el control.

Recurso Agua:

DBOg-SS

Las industrias aportan aproximadamente entre 20.000 a 30.000 kilogramos/dia a los cuerpos receptores hídricos de ciudad.

La mayoría de la carga orgánica corresponde a las aguas servidas domesticas (viviendas) dispuesta sin tratamiento deficiencia en el sistema de alcantarillado sanitario.

La fuente mas importante de contaminación por carga orgánica es la industria alimenticia.

Las descargas de SS en el limite urbano se estiman en 39.000 kg./día.

El total de las industrias se sitúan en las siguientes categorías

- Alimentos, bebidas y cigarrillos (26%)
- Sustancias químicas y derivados del petróleo, caucho y plástico (19%)
- Fabricación de productos metálicos
- Maquinaria y equipo (16%).

Condiciones a la fecha del estudio:

• Pocas industrias tienen sistemas de tratamiento.

• Usualmente, las industrias con sistemas de tratamiento son internacionales. La gran parte de las industrias no cumplen con las normas vigentes

FUENTES PRINCIPALES DE DB05 Y SÓLIDOS SUSPENDIDOS.

CIIU 3115	Fabricas de aceites y grasas vegetales y animales;
	particularmente fabricas de harina de pescado,
CIIU 3111	Matanza de ganado, preparación y conservación de carne.
CIIU 3112	Fabrica de leche y helados.
CIIU 3114	Empacadoras de camarón y pescado.
CIIU 3133	Cervecerías.
CIIU 3134	Embotelladoras.
CIIU 3211	Fabricas de hilado y tejido.
CIIU 3411	Fabricas de pulpa de madera, papel y cartón
CIIU 2901	Extracción de piedra, arcilla y arena. (SS).
CIIU 3699	Fabricación de productos minerales no metálicos.(SS).

SS = Sólidos en suspensión.

ANEXO B

MINGAS DE LIMPIEZA EN EL ESTERO SALADO COMITÉ ECOLÓGICO DEL LITORAL

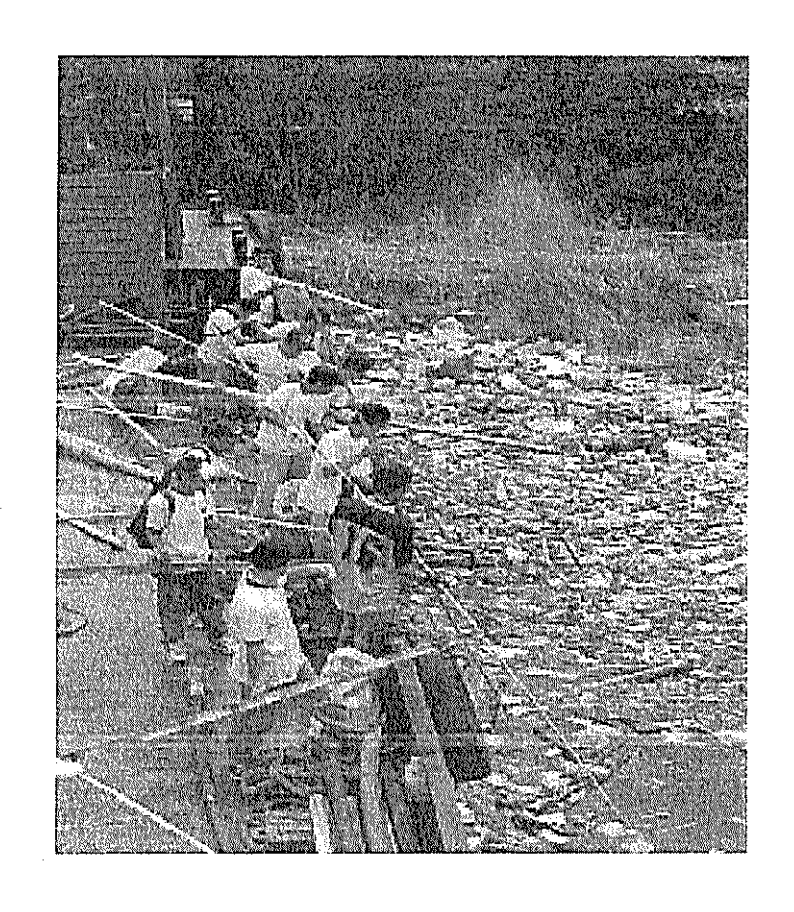


Figura 33.Recolección desde la gabarra Victoria NAVIPAC, CEL-Campaña 1999

ZONAS	SECTOR
1	PUENTE 5 DE JUNIO Y ZONAS ALEDANAS
2	PUENTE ESTADIO BARCELONA
3	PUENTE MIRAFLORES
4	KENNEDY NORTE
5	PUENTE PORTETE
6	PUENTE ILANES
7	PUENTE CALLE 17
8	PUENTE DEL VELERO
9	PRECOOP, P. NERUDA
10	PLAYITA DEL GUASMO
11	GABARRA – VICTORIA
12	ESTERO ECOMUNDO
13	ISLA TRINITARIA

CAMPAŇA	IOTAL DE SACOS RECOGIDOS	PESO PROMEDIO DE LOS DESECHOS (KG)	TOTAL DE PARTICIPANTES	LUGARES DE RECOLECCION
1994	500	4000	750	11
1995	900	7200	1200	1-2
1996	1000	8000	1300	1-2-3
1997	1300	10400	1500	1-2-3-4
1998	2120	16960	1700	1-2-3-4-5-6-11
1999	3399	27192	1600	1-2-3-4-5-6-7-11
2000	3060	24480	1900	1-2-3-4-5-67-11-13
2001	2000	16000	1200	1-2-3-4-5-67-11-13
2002	1676	13408	1600	2-5-7-8-9-10-11-12
2003	1100	8800	1500	2-6-7-8-12-13
TOTAL	17055	204660 KG	14250 PARTIC.	13 ZONAS

Tabla XXVII Promedios anuales de peso de los desechos recogidos en las campañas de limpieza 1994 - 2003

ANEXO C

INFORMACIÓN SOBRE PROPUESTA DE NUEVA EMBARCACION



Figura 34. información del Diario El Universo. Octubre 17,1999



Figura 35. Certificación de validez de la propuesta Técnico Científica

ANEXO D

INFORMACIÓN SOBRE EL CATAMARÁN DE RECOLECCIÓN DE LA CIA. VISOLIT

Simbologia	Detalle	Dimensiòn
L	Eslora total	9,10 m
ь	Manga de cada casco	1,20 m
B total	Manga de embarcación	4.00 m
D	Puntal	1.80 m
h	Calado	0.80 m
а	Alto de puente	
	sobre nivel del agua	1.00 m
S	Separación entre	
	cascos desde crujías	2.80 m
D	Desplazamiento	12,23 ton
Q	Capacidad de carga	1 – 1.5 ton
Material canasta	Acero inox.	
Material embarcación	Acero Naval	

Tabla XXVIII.- Características de la embarcación

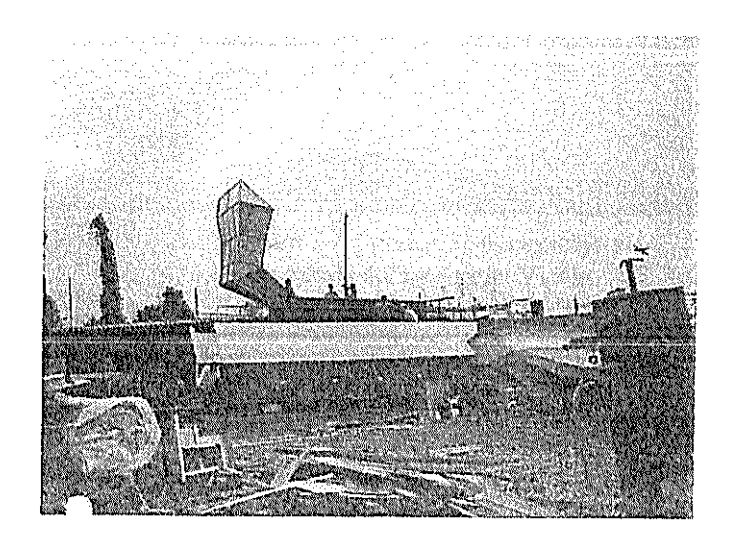
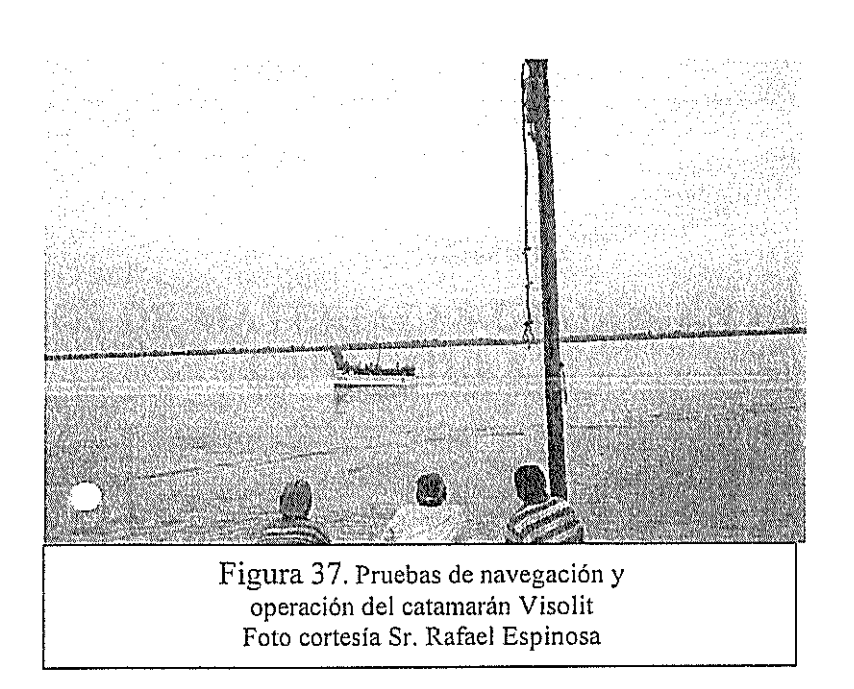


Figura 36. Pruebas del sistema recolector catamarán Visolit Foto cortesía Sr. Rafael Espinosa

Velocidad = 3 nudos	Tiempo de trabajo = 8 horas	Peso de funda = 25 lb. aprox.
DIA	VOLUMEN RECOLECTADO	PESO ESTIMADO DE LA BASURA
	NUMERO DE FUNDAS	Lb.
01	80	2000
02	75	1875
03	62	1550
04	70	1750
05	85	2125
06	92	2300
07	95	2375
08	88	2200
09	90	2250
10	90	2250
PROMEDIO =	82.7	2067.5

Tabla XXIX. Eficiencia del sistema de recolección



ANEXO E

CALCULO Y ARREGLO DE LA CANASTILLA

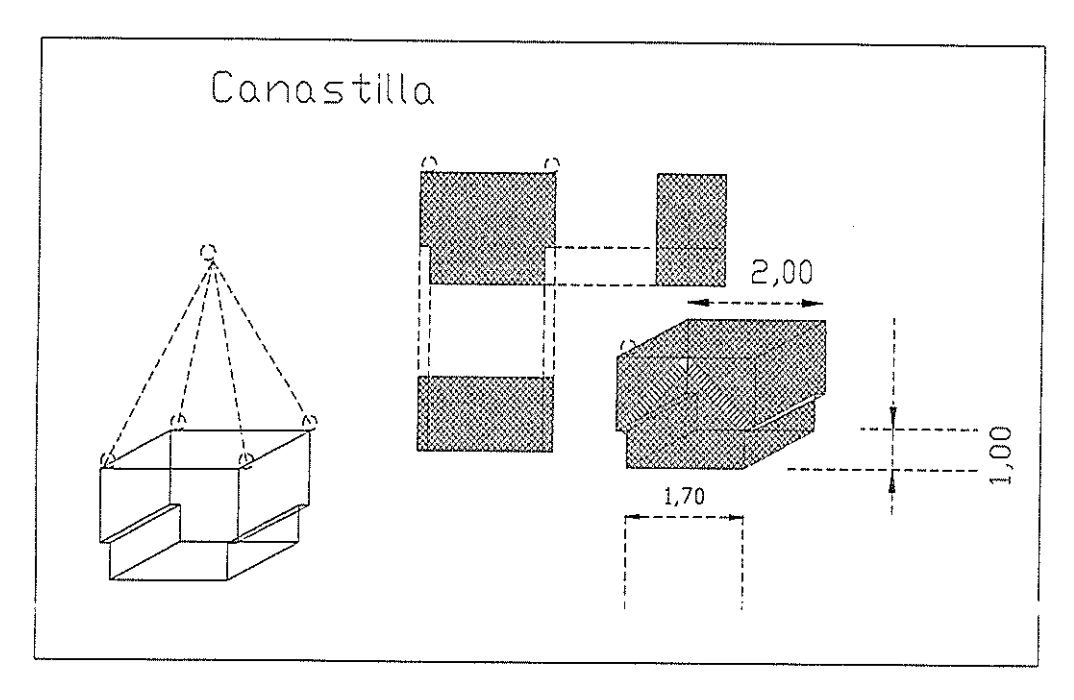


Figura 38 Arregio de la canastilla

PESOS DE MATERIALES USADOS EN LA CANASTILLA

ITEM	DIMENSIONES	PESO UNITARIO KG	UNIDADES	PESO TOTAL
PLANCHAS DE ACERO INOX.PERFORADAS	8 ' * 4' * 5/54"	40	4	160
ANGULOS DE ACERO INOX	1 ½ * 1 ½ * 1/4	17.85	8	142.8
				302.8 KG

ANEXO F

PROPULSIÓN ALTERNATIVA

Debido a las dimensiones relativamente pequeñas del semicasco del catamarán, el calculo de la potencia al eje, diámetro de la hélice y razón paso/diametro para una embarcación de 7 metros de eslora y un desplazamiento de 800 Kg. (1.6 ton /2 cascos) se convierte en el cálculo de la potencia que un motor pequeño estacionario o un motor fuera de borda puede ofrecer.

Una propuesta alternativa consiste en que la propulsión provenga de un sistema no – convencional, en este caso un sistema que se esta utilizando de más a más como lo es el eléctrico, consistente en un banco de baterías que activa un motor eléctrico tipo fuera de borda.

POTENCIA DE PROPULSIÓN PARA MOTOR ELECTRICO

Para estos cálculos se ha considerado las recomendaciones de Ray electric

[10].

HP de la hélice = $86 \text{ A} \times 48 \text{ V} \times 0.78 = 864 \text{ W}$

1HP = 746 W

HP = 1.16

Donde 0.78 es un factor estimado de eficiencia en consumo mecánico y

Eléctrico.

Desplazamiento del catamarán =1.6 ton

HP por tonelada = 1.16 HP / 1.6 ton = 0.788

Corriente de la batería = 18.5

Velocidad, del casco:

 $V = 1.34 \sqrt{L}$

V catamarán = $1.84 * \sqrt{88} = 6.88$ Nudos (7.81 MPH). La velocidad de crucero es ligeramente baja a 85 A. (ver la curva).

RT == 8 horas.

Rango 7.81 MPH x 8 H = 57.6 Millas = 106.6 Km

VENTAJAS DE USO DEL MOTOR ELÉCTRICO

El sistema escogido para la embarcación es el RAY 300 de sistema

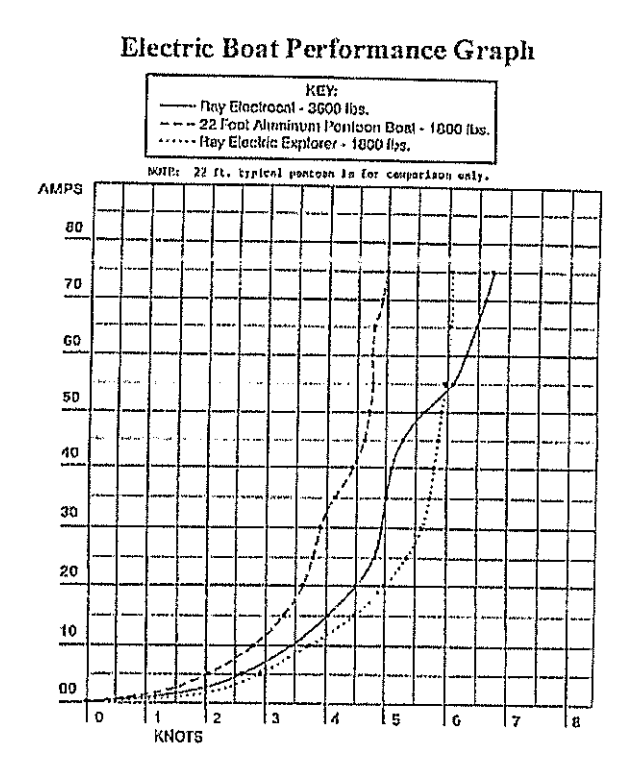
Corto.

Este motor tiene las siguientes ventajas:

- Motor extra duro General Electric
- Hélice de 5 pulgadas

- Reducción 2.6: 1
- Medidor de carga de batería
- Paso dual de aire refrigerante

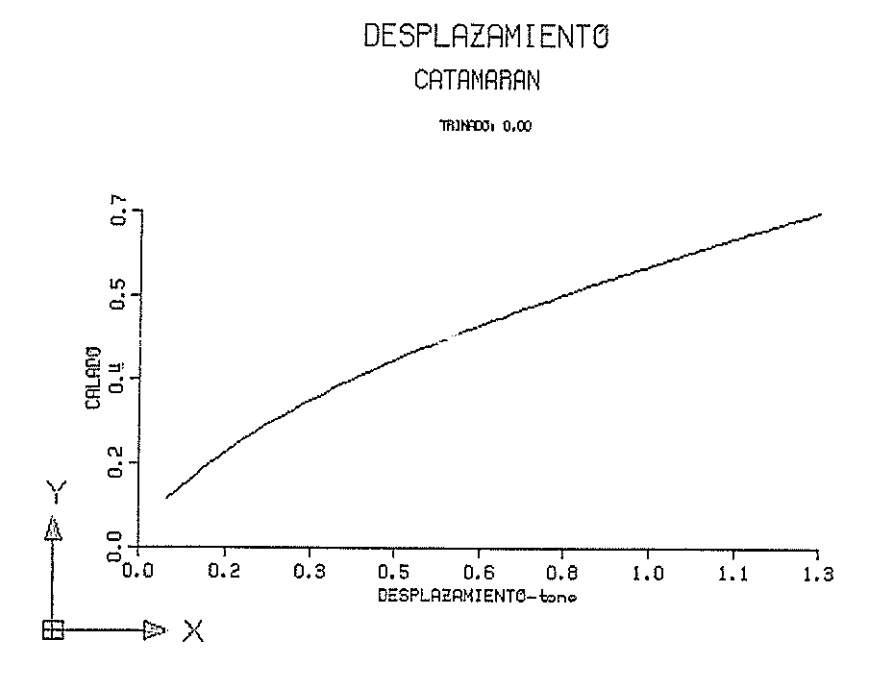
El sistema de control del motor estará ubicado en la cabina de mando y permite la variación de velocidad del motor hacia delante y reversa con Eficiente pulseo y facilidad.



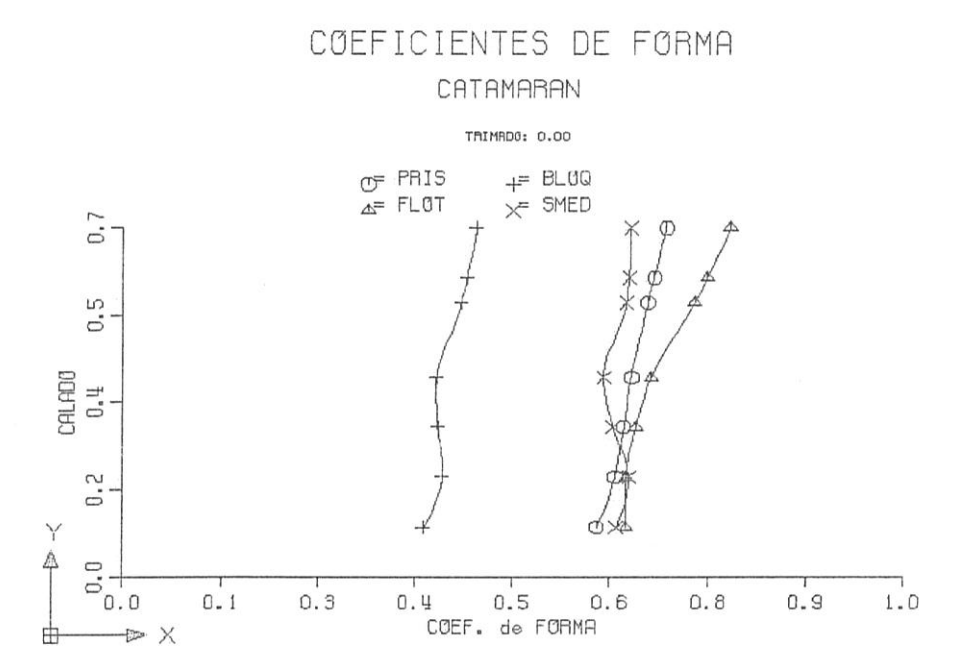
ANEXO G

CURVAS HIDROSTÁTICAS

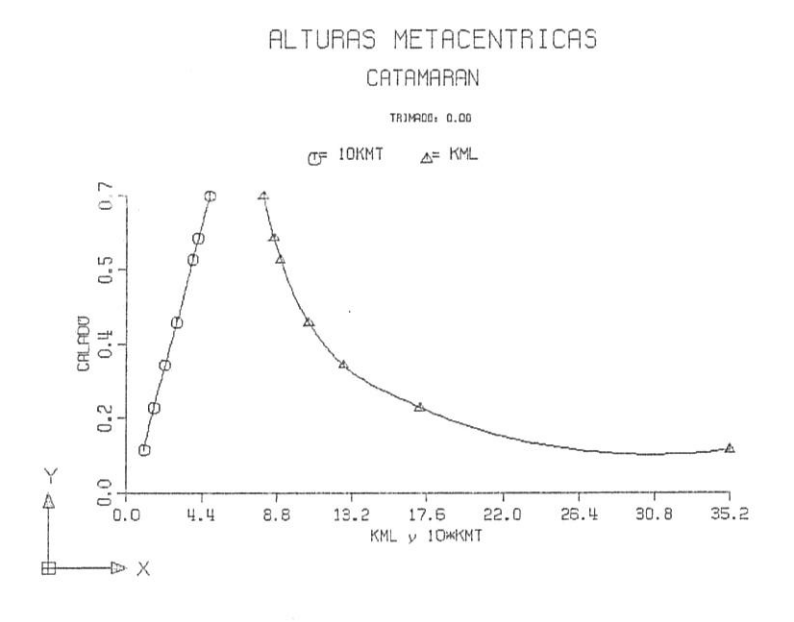
Las curvas hidrostáticas que se presentan a continuación corresponden a los valores de un semicasco. El programa utilizado es SHCP y como contraparte se utiliza el programa Prolines.



Curva de desplazamiento(ton) vs. Calado(m)

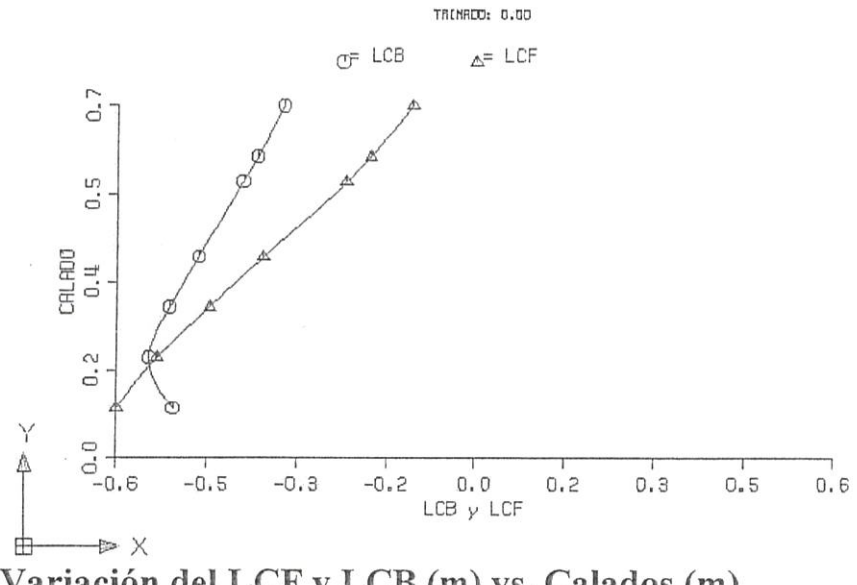


Curva de Coeficientes de formas vs. Calado(m)



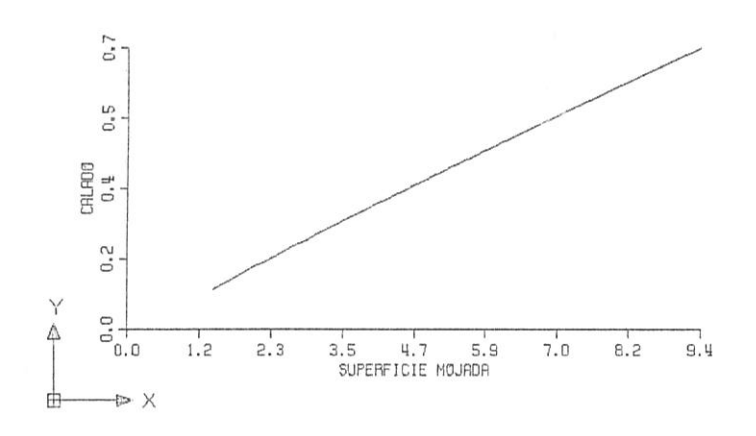
Variación del KMT y KM (m) vs. calados (m)

POS. LONGITUDINAL C. BOY. y C. FLOT. CATAMARAN



Variación del LCF y LCB (m) vs. Calados (m)

SUPERFICIE MOJADA CATAMARAN



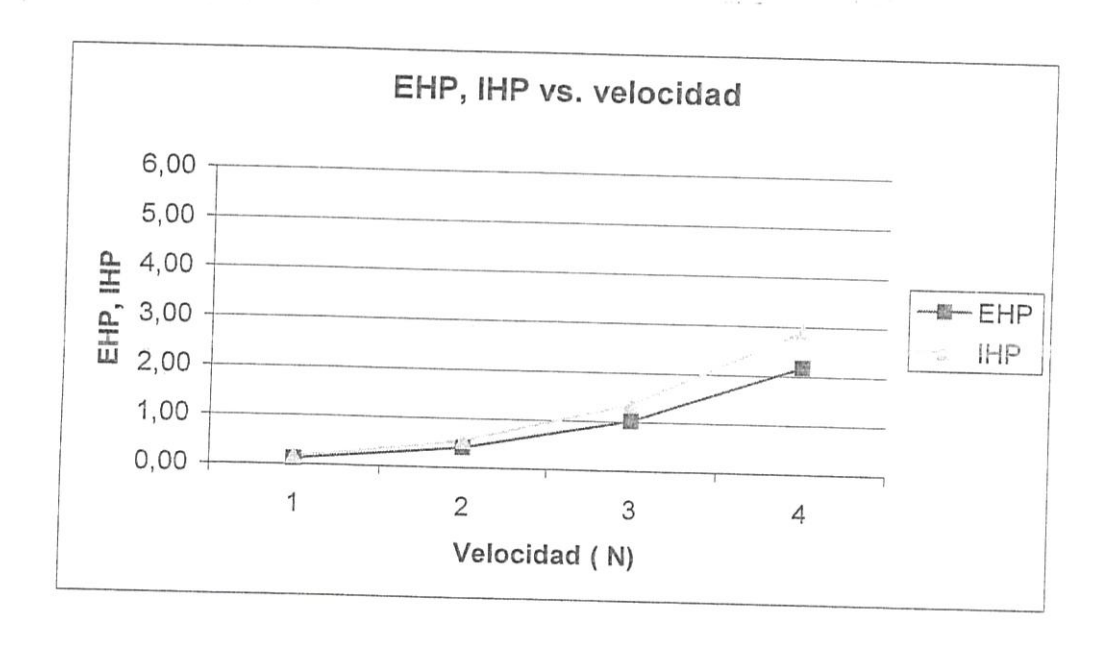
Superficie mojada (m2) vs. Calados (m)

ANEXO H

CALCULO DE LA RESISTENCIA Y LA PROPULSION

Para un s	emicasco)		CALCULO	S	
L=	7,00	m			Cb=	0,36
B= H= D= V= Sm=	0,60 0,55 0,80 3,36 8,10	m m m m ³ m ²			Cp= Cx=	0,577 0,624
γ= 1,2	1,9905 817E-05 32,18	ft ² /s	seg			
Re= v*L/γ			Fn= v /- \g	*L		
Cf=	0,075 (logRe - 2	2) ²	Sm= Smt=	L24L*H* 2*Sm p	(1,7+(Cb*B oie ²	/H)) m²
Crug=	0,0001		Rt = p * Smt *	v ² * CT lbs	S	
Cw=20-30% (EHP= Cif= Ct= CT=	figura Cf+Cw+C 2*Ct		s	<u>Rt * v</u> 550	HP	

vn	٧ ,	Fn	Re	Cf	Cw	Cif/2Cw	Cif/2
nudos	pies/s						
2	3,378	0,1243	6,0513E+06	6 0,0032800	0,001251	0,005	0,0000063
3	5,067	0,1864	9,0769E+06	0,0030511	0.001501	0,024	0,0000360
4	6,756	0,2486	1,2103E+07	7 0 0029030	0.001801	0,072	
5	8,445					0,072	0,0001297
			1,5128E+07			0,171	0,0003697
6	10,134	0,3728	1,8154E+07	0,0027118	0,002594	0,343	0,0008897
		_					
vn	V	Crug	Ct	CT	Rt	EHP	IHP
nudos	pies/s				lbs	HP	HP
2	3,378	0,0004	0,0049372	0,00987446		0,12	0,16
3	5,067	0,0004		0,00997629		104 1000	
4					44,45	0,41	0,55
4	6,756	0,0004	0,0052336	0,01046728	82,92	1,02	1,36
5	8,445	0,0004	0,0057271	0,01145412	141,78	2,18	2,90
6	10,134	0,0004		0,01319112	The state of the s	4,33	5,78



ANEXO I

17 de agosto 2004,

LABORATORIO DE EXPERIENCIAS HIDRODINAMICAS - FIMCM

Objetivo:

PRUEBA DE SISTEMA RECOLECTOR

EQUIPO

1.- TANQUE DE PRUEBAS

CARACTERÍSTICAS DEL TANQUE. Tanque de pruebas hidrodinámicas equipado de un generador de olas, una bomba de circulación y de sistema de medición de esfuerzos

El tanque principal mide 1.2 m x 3.5 m y 0.4 de profundidad

2.- MODELO

CARACTERÍSTICAS DEL MODELO

1.	Material	Balsa
2.	Eslora	80 cm
3.	Manga	34.5 cm
4.	puntal	10 cm
5.	Calado	2cm
6.	Talla de paletas	18 cm x 1.65 cm
7.	Motor eléctrico	1.5 v
8.	Reductor	16: 1
9.	Tipo de banda	Cinta Polivinilo

RESULTADO IDEAL

La basura sube por el sistema recolector.

El modelo es fijado en el tanque de tal manera que permanezca flotando en central, se colocan pesos en la cubierta para balancear su posición. El avance de la embarcación hace que basura sea recolectada por las paletas y sea elevada por la banda.

RESULTADO EXPERIMENTAL

El modelo de comporta excelentemente en la flotación (Imagen 1). El sistema de banda funciona normalmente Sin embargo al momento de recibir la basura, las paletas de la banda generan un efecto de ola que mueve hacia adelante los elementos flotantes. La cantidad de basura que asciende por la banda es mínima y si existe corriente la basura busca los extremos de la banda

ANÁLISIS

Este fenómeno es comprensible si se considera que las paletas mueven una masa de agua que evita que la basura ascienda por la banda. También esas paletas originan en el modelo un movimiento de reversa, movimiento que de be ser considerado en el calculo de la resistencia y por ende de la propulsión.

SOLUCION

Como posible solución es la de cambiar las paletas llanas por paletas perforadas en forma de malla, de esta manera el agua en lugar de generar una onda pasara por entre las ranuras.

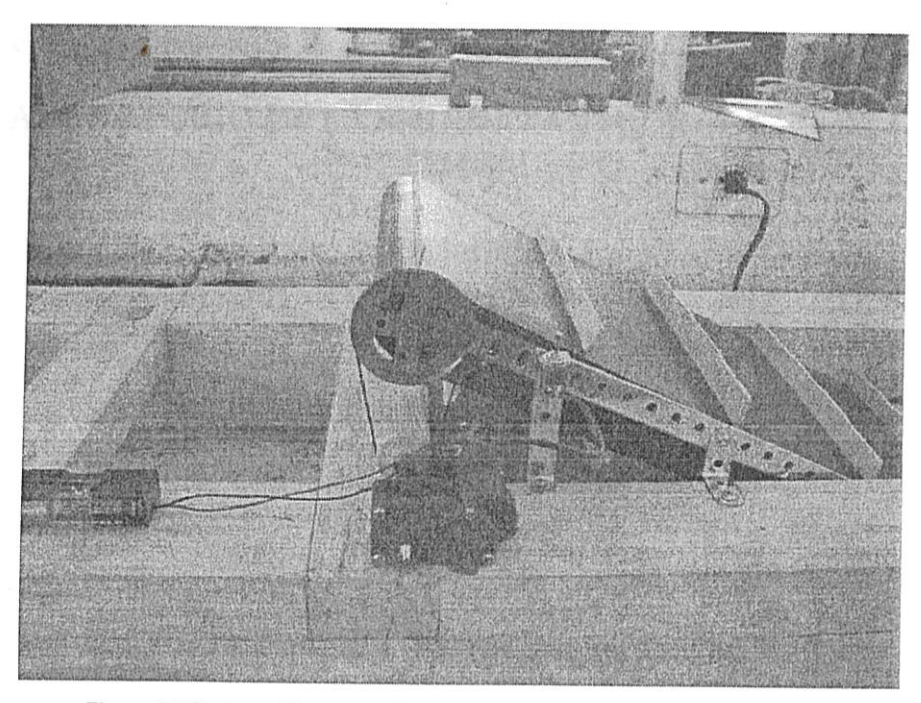


Figura 39 Sistema Electromecánico que acciona la Banda transportadora del Modelo. Laboratorio de Hidrodinámica FIMCM

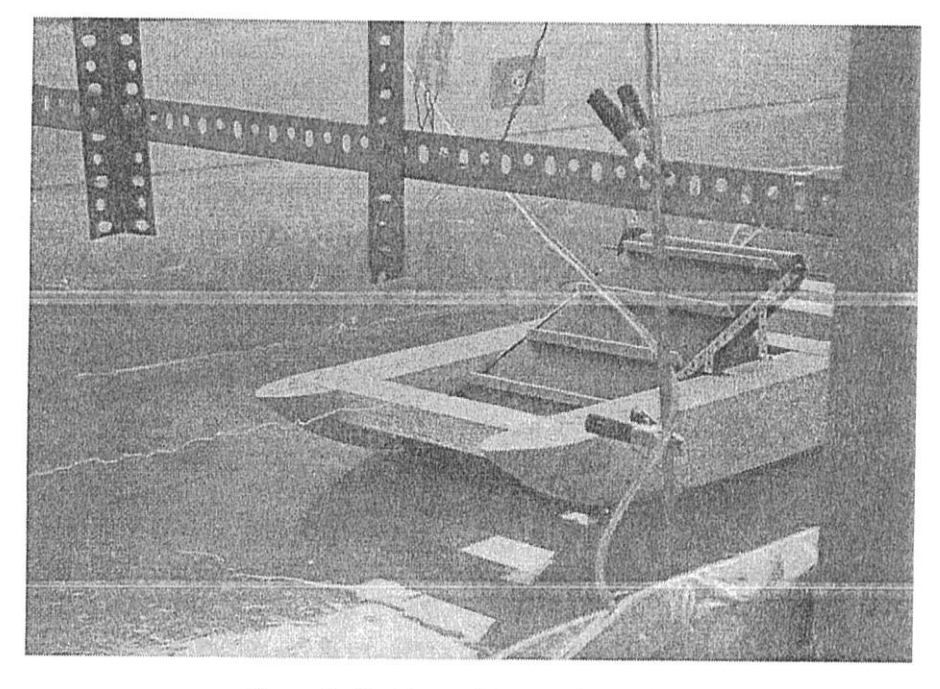


Figura 40: Modelo en el tanque de prueba s. Laboratorio de Hidrodinámica FIMCM

19 de agosto 2004,

LABORATORIO DE EXPERIENCIAS HIDRODINAMICAS - FIMCM

Objetivo:

PRUEBA DE SISTEMA RECOLECTOR

(CORRECCION DE PROBLEMAS)

EQUIPO

1.- TANQUE DE PRUEBAS CARACTERÍSTICAS DEL TANQUE

2.- MODELO CARACTERÍSTICAS DEL MODELO

13. puntal 10 cm 14. Calado 2cm 15. Talla de paletas 18 cm x 1.65 cn 16. Motor eléctrico 1.5 v 17. Reductor 64: 1	10. Material 11. Eslora 12. Manga	Balsa 80 cm 34.5 cm
16. Motor eléctrico 1.5 v 17. Reductor 64: 1	13. puntal 14. Calado	10 cm
18. Tipo de banda Cinta Polivinilo	16. Motor eléctrico	United the Control of

RESULTADO IDEAL

La basura sube por el sistema recolector.

El modelo es fijado en el tanque de tal manera que permanezca flotando en central, se colocan pesos en la cubierta para balancear su posición. El avance de la embarcación hace que basura sea recolectada por las paletas y sea elevada por la banda .

RESULTADO EXPERIMENTAL

El modelo de comporta excelentemente en la flotación. El sistema de banda funciona normalmente. EL problema de la paleta fue solucionado. Si la embarcación sigue la basura, esta asciende por la banda sin problemas

ANÁLISIS

El cambio de paleta llana por una paleta ranurada permitió que la masa de agua no sea ya una resistencia a la recolección de basura.